



การทดสอบอุปกรณ์ และเครื่องมือที่สร้าง

ในบทนี้ จะกล่าวถึงรายละเอียดของการทดสอบเลนส์วัตถุและเลนส์ตาที่ได้จัดสร้างขึ้น และกล่าวถึงวิธีการใช้งานและการทดสอบของเครื่องมือ ออโตคอลลิเมเตอร์ และไมโครสโคปเพียโรมิเตอร์ตามลำดับ

1. การทดสอบเลนส์วัตถุของออโตคอลลิเมเตอร์ ได้แบ่งขั้นตอนการทดสอบออกเป็นลำดับขั้นต่าง ๆ คือ

- 1.1 การตรวจสอบค่ารัศมีความโค้งของผิวเลนส์โดยวิธีวงแหวนของนิวตัน (Newton's ring)
- 1.2 การหาทางยาวโฟกัสจากสมการการหักเห
- 1.3 การตรวจสอบคุณภาพของเลนส์ จากการแกะรอยรังสีโกไลต์แกน
- 1.4 การตรวจสอบทางยาวโฟกัสโดยวิธีกำลังขยาย (magnification method)
- 1.5 การตรวจสอบคุณภาพของเลนส์ โดยวิธีทดสอบด้วยดาว (star test)
- 1.6 การตรวจสอบคุณภาพของเลนส์ โดยวิธีทดสอบของฮาร์ทแมน (Hartman's test)
- 1.7 การตรวจสอบคุณภาพของเลนส์ โดยวิธี คมมีดของฟูโคลท์ (Foucoult's knife-edge test)

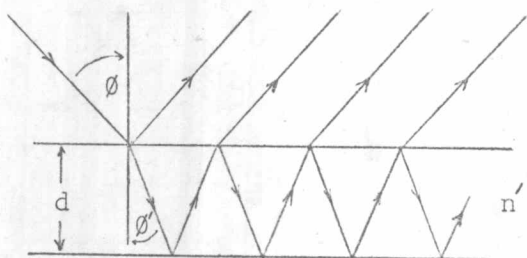
1.1 การตรวจสอบค่ารัศมีความโค้งของผิวเลนส์ โดยวิธีวงแหวนของนิวตัน

ในการสร้างเลนส์ ค่าที่จำเป็นต้องทราบเป็นสิ่งแรก ก็คือค่ารัศมีความโค้งของผิวเลนส์ นอกจากจะเป็นการตรวจสอบว่า เลนส์ที่ได้ทำการฝนขึ้นนั้นมีรูปร่างตามที่กำหนดหรือออกแบบไว้หรือไม่แล้ว ยังเป็นค่าที่จำเป็นต่อการใช้หาค่าทางยาวโฟกัส กำลังของเลนส์ และใช้ในสมการการแกะรอยรังสี เพื่อคำนวณหาคุณภาพของเลนส์อีกด้วย ค่าความหนาของเลนส์เป็นสิ่งจำเป็นที่ต้องทราบเป็นลำดับถัดไป สำหรับค่าความหนาลำสามารถหาค่าได้โดยตรง จากการใช้ไมโครมิเตอร์ แต่สำหรับการหารัศมีความโค้ง แบบทั่วไปซึ่งใช้สโคปเพียโรมิเตอร์ นั้นจะไม่เหมาะสมต่อการวัดรัศมี ความโค้งของผิวเลนส์ เนื่องจากอาจทำให้เกิดรอยขีดบนผิวเลนส์ได้ วิธีที่นิยมใช้กันก็คือ วิธีวงแหวนของนิวตัน ซึ่งใช้หลักการของการแทรกสอด

ของแสงในฟิล์มอากาศบาง ๆ ที่อยู่ระหว่างผิวโค้ง 2 ผิว

วงแหวนของนิวตัน มีลักษณะเป็นริ้ววงกลมมืดสลับกับสว่าง ซึ่งเป็นผลสืบเนื่องมาจากการแทรกสอดของแสง ที่สะท้อนจากผิวทั้งสองของฟิล์มอากาศบาง ๆ ถ้ามีผิวโค้ง 2 ผิว ซึ่งมีรัศมีความโค้ง แตกต่างกันมาวางสัมผัสกัน บริเวณใกล้ ๆ ส่วนตรงกลางของตำแหน่งที่วางซ้อน จะเป็นช่องว่างหรือฟิล์มอากาศบาง ๆ ในระหว่างผิวโค้งทั้งสอง เมื่อมีแสงส่องผ่านผิวโค้งแรก ส่วนหนึ่งจะสะท้อนที่ผิวโค้งนี้ และอีกส่วนจะหักเหผ่านฟิล์มอากาศไปยังผิวโค้งที่สอง แล้วสะท้อนกลับผ่านฟิล์มอากาศ หักเหกลับเข้าสู่ผิวโค้งแรกอีกครั้ง แสงที่สะท้อนครั้งแรกกับแสงที่หักเหผ่านฟิล์มอากาศ จะเกิดการแทรกสอดกัน ทำให้เกิดลักษณะวงแหวนของนิวตันขึ้น

ในส่วนตรงกลาง เมื่อพิจารณาในบริเวณแคบ ๆ ซึ่งผิวทั้งสองของฟิล์มอากาศเกือบจะขนานกัน ซึ่งทำให้เขียนลักษณะทางเดินแสงได้เช่นเดียวกับ ทางเดินแสงในฟิล์มบางที่มีผิวขนานกัน (plane parallel thin film) ดังภาพ 4-1



ภาพ 4-1 แสดงทางเดินของแสงในฟิล์มบางที่มีผิวขนานกัน

จากหลักการของการแทรกสอดของแสงในฟิล์มบาง⁽¹⁾ จะได้ความสัมพันธ์

สำหรับวงมืด $2n'd \cos \theta' = m\lambda \dots\dots\dots 4.1$

และสำหรับวงสว่าง $2n'd \cos \theta' = (m + \frac{1}{2})\lambda \dots\dots\dots 4.2$

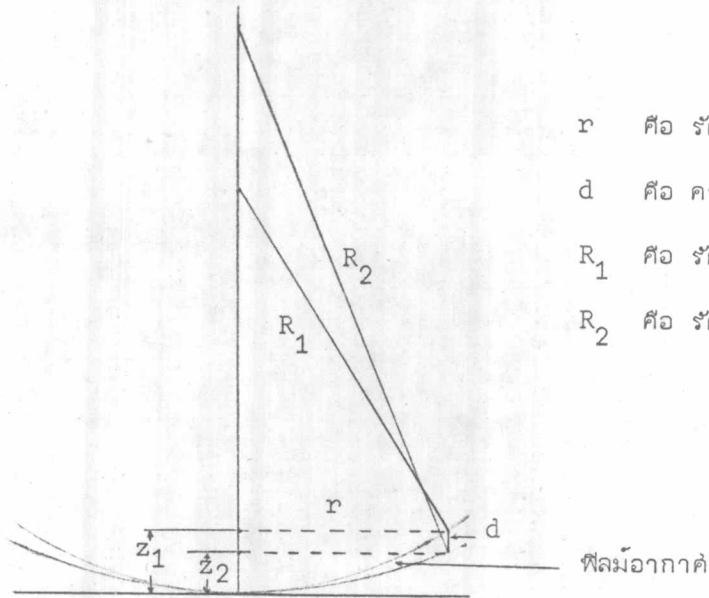
เมื่อ d คือความหนาของฟิล์ม
 θ' คือมุมหักเหของรังสีแสงในฟิล์มบาง

- m คือ ตัวเลขจำนวนเต็ม
- n' คือ ดรรชนีหักเหของตัวกลางหรือฟิล์มบาง
- λ คือ ความยาวคลื่นของรังสีแสง

ในการทดลองวงแหวนของนิวตัน บริเวณของการแทรกสอด จะเป็นบริเวณแคบ ๆ และต้องใช้กล้องจุลทรรศน์กำลังขยายต่ำส่องดู ซึ่งค่ามุม θ จะเล็กมาก ดังนั้น $\cos \theta \approx 1$ ทำให้ได้ว่า

สำหรับวงมืด $2n'd = m\lambda$ 4.3

และสำหรับวงสว่าง $2n'd = (m + \frac{1}{2})\lambda$ 4.4



- r คือ รัศมีของวงมีด
- d คือ ความหนาของฟิล์มอากาศ
- R₁ คือ รัศมีความโค้งของผิวที่หนึ่ง
- R₂ คือ รัศมีความโค้งของผิวที่สอง

ภาพ 4-2 แสดงฟิล์มอากาศ ระหว่างผิวโค้งรัศมี R₁ และ R₂

จากภาพ 4-2

แต่ $d = z_1 - z_2$

และ $z_1 = \frac{r^2}{2R_1}$

$z_2 = \frac{r^2}{2R_2}$

$$\text{ดังนั้น} \quad d = \frac{r^2}{2} \left(\frac{1}{R_1} - \frac{1}{R_2} \right)$$

$$d = \frac{r^2}{2} (c_1 - c_2)$$

ถ้าให้ D คือเส้นผ่าศูนย์กลางของวงมัต

$$d = \frac{D^2}{2} (c_1 - c_2)$$



และ พลิ้มอากาศมีค่าดัชนีหักเห (n') 1.00 ดังนั้น สัมการของการแทรกสอด

สำหรับวงมัต (สมการ 4.3) สามารถเขียนได้ คือ

$$2 \frac{D^2}{8} (c_1 - c_2) = m\lambda$$

$$\text{หรือ} \quad m = \frac{(c_1 - c_2)}{4\lambda} D^2 \quad \dots\dots\dots 4.5$$

m คือ ลำดับของการแทรกสอด ซึ่งมีค่าเป็นเลขจำนวนเต็ม

D คือ เส้นผ่าศูนย์กลางของวงมัตลำดับที่ m

จากสมการ 4.5 จะได้ $m \propto D^2$

เมื่อเขียนกราฟระหว่าง m กับ D^2 จะได้กราฟเส้นตรง โดยมีค่าความชัน (K) คือ $\frac{c_1 - c_2}{4\lambda}$

$$\text{นั่นคือ} \quad c_1 - c_2 = 4\lambda.K \quad \dots\dots\dots 4.6$$

เมื่อ K คือ ความชันของกราฟระหว่าง m กับ D^2

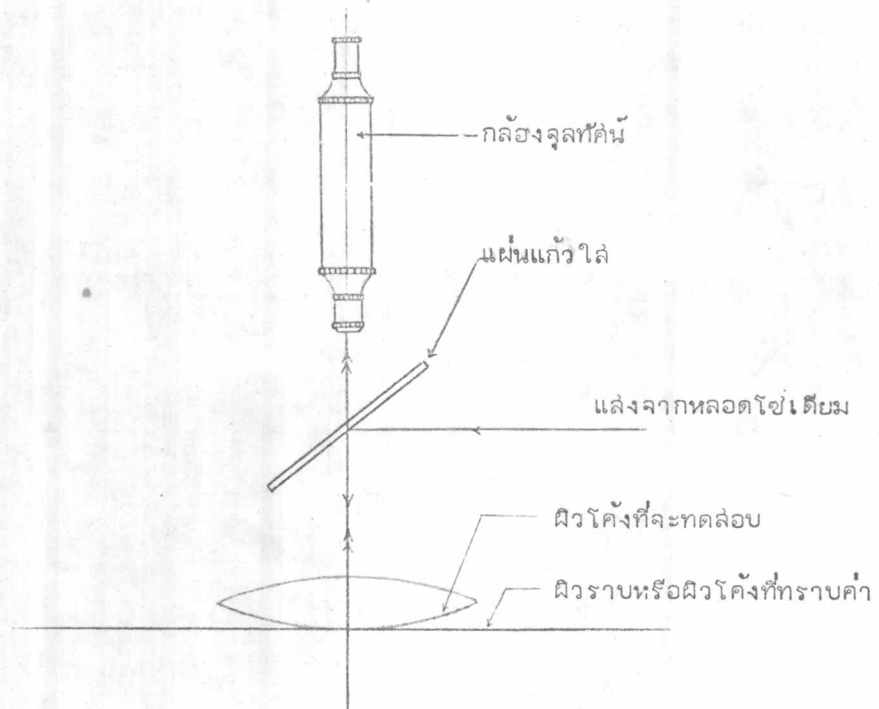
ถ้าทราบค่ารัศมีความโค้ง R_2 ก็หาค่ารัศมีความโค้ง R_1 ได้จากค่าความชัน (K)

และความยาวคลื่นแสงที่ใช้ในการแทรกสอด (λ) ตามสมการ 4.6 และในกรณีที่ใช้ผิวโค้ง

วางบนแผ่นราบ ซึ่งค่า c_2 เป็นศูนย์ จะได้

$$c_1 = 4\lambda.K \quad \dots\dots\dots 4.7$$

การทดสอบหาค่า



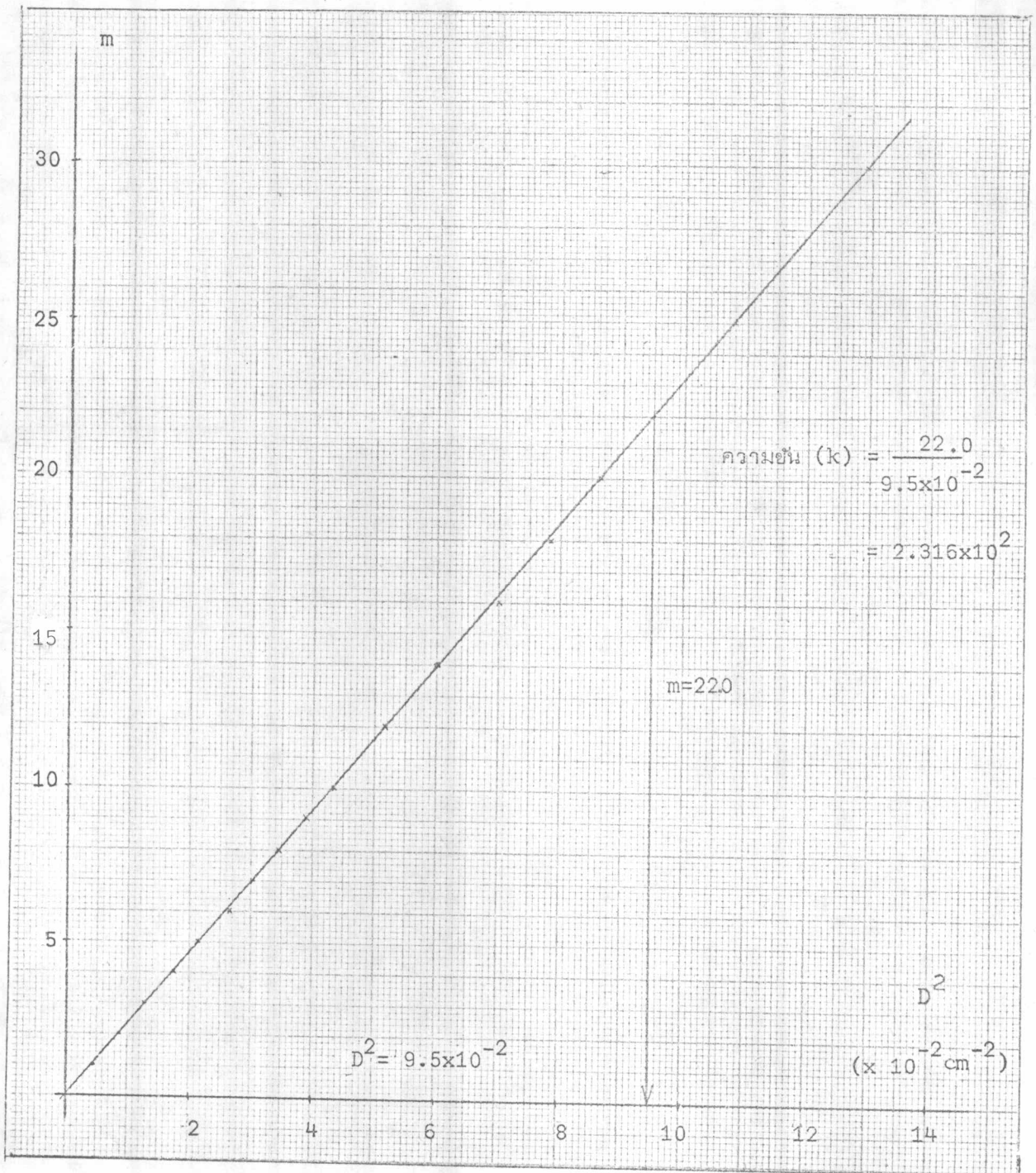
ภาพ 4-3 แสดงการสัดเครื่องมือสำหรับหาค่ารัศมีความโค้งโดยวิธีวงแหวนของนิวตัน

เมื่อสัดเครื่องมือดังภาพ 4-3 และทำการปรับโฟกัสของกล้องจุลทรรศน์ ให้นับเห็นบริเวณตรงกลางของผิวโค้ง จะสังเกตเห็นวงแหวนของนิวตัน จากนั้นจึงวัดค่าเส้นผ่าศูนย์กลางของวงมีดลำดับต่าง ๆ โดยใช้การกำหนดตำแหน่งของกล้องจุลทรรศน์ เมื่อได้ค่าเส้นผ่าศูนย์กลาง (D) และลำดับที่ (m) ของวงมีด จึงนำมาเขียนกราฟระหว่าง m กับ D^2 หาค่าความชัน (K) แล้วจึงคำนวณหาค่ารัศมีความโค้ง (R) จากสมการ 4.6 หรือ 4.7

ข้อมูลของการทดสอบ ได้ทำการทดสอบผิวโค้งที่หนึ่ง และผิวโค้งที่สองของเลนซ์นูน โดยทำการวางสัมผัสกับแผ่นราบ ($c_2 = 0$) ตัวอย่าง ข้อมูลของการทดสอบสำหรับผิวโค้งที่หนึ่งกับแผ่นราบ แสดงไว้ในตาราง 4.1

ตาราง 4.1 แสดงข้อมูลของการวัดหาค่าเส้นผ่าศูนย์กลางของวงแหวนนิวตันสำหรับ
ผิวโค้งที่หนึ่งของเลนส์นูน

ลำดับที่ของวง	ตำแหน่งซ้ายของ วงมืด	ตำแหน่งขวาของ วงมืด	เส้นผ่าศูนย์กลาง	
m	D_1	D_2	$D=(D_2-D_1)$ (cm)	D^2 ($\times 10^{-2} \text{cm}^2$)
1	1.548	1.614	0.066	0.435
2	1.533	1.625	0.092	0.846
3	1.523	1.636	0.113	1.276
4	1.515	1.646	0.131	1.716
5	1.508	1.655	0.147	2.161
6	1.501	1.663	0.162	2.624
7	1.495	1.669	0.174	3.028
8	1.489	1.675	0.186	3.460
9	1.483	1.680	0.197	3.881
10	1.478	1.686	0.208	4.326
12	1.468	1.696	0.228	5.193
14	1.459	1.704	0.245	6.002
16	1.448	1.713	0.265	7.002
18	1.440	1.720	0.280	7.840
20	1.433	1.727	0.294	8.644
25	1.417	1.745	0.328	10.76
30	1.402	1.762	0.360	12.96



กราฟแสดงความสัมพันธ์ระหว่าง m กับ D^2 ในการทดลองวงแหวนของนิวตัน

จากกราฟ ได้ค่าความชัน (K) 2.316×10^2 (เซนติเมตร)⁻² แต่ค่าความชันที่ได้จะไม่ละเอียดนัก เพื่อให้ได้ค่าความชันที่ละเอียดและแน่นอน ได้ทำการคำนวณหาค่าความชันจากข้อมูลตามหลักของการฟิตกราฟเส้นตรง (curve fitting) โดยใช้เครื่องคำนวณฮิวเล็ท - แพคการ์ดของภาควิชา ได้ค่าความชันของกราฟ 2.312×10^2 (เซนติเมตร)⁻²

แสงที่ใช้ในการทดลอง คือ แสงจากหลอดโซเดียม ซึ่งมีความยาวคลื่น (λ) 5893 อังสตรอม และจากค่าความชันของกราฟ (K) 231.2 (เซนติเมตร)⁻² จะหาค่ารัศมีความโค้งของผิวที่หนึ่งของเลนส์นูน ได้จาก

$$c_1 = 4\lambda \cdot K$$

$$c_1 = 4 \times 5.893 \times 10^{-5} \times 2.312 \times 10^2$$

$$c_1 = 5.445 \times 10^{-2} \text{ cm}^{-1}$$

$$R_1 = 18.37 \text{ cm}$$

ได้ทำการทดลองวัดค่ารัศมีความโค้ง โดยวิธีวงแหวนของนิวตันนี้ 8 ครั้ง จากค่ารัศมีความโค้งที่ได้แต่ละครั้ง นำมาหาค่าเฉลี่ย ข้อมูลสำหรับการทดลองหารัศมีความโค้งของผิวที่หนึ่ง แสดงไว้ในตาราง 4.2

ตาราง 4.2 ข้อมูลในการทดสอบหาระดับความโค้งของผิวที่หนึ่ง

ครั้งที่	K (cm^{-2})	c_1 (cm^{-1})	R_1 (cm)
1	2.312×10^2	5.445×10^{-2}	18.37
2	2.301×10^2	5.424×10^{-2}	18.44
3	2.306×10^2	5.435×10^{-2}	18.40
4	2.308×10^2	5.440×10^{-2}	18.38
5	2.298×10^2	5.403×10^{-2}	18.50
6	2.308×10^2	5.440×10^{-2}	18.38
7	2.321×10^2	5.471×10^{-2}	18.28
8	2.327×10^2	5.484×10^{-2}	18.23
		5.443×10^{-2}	18.37

สำหรับผิวที่สองของเลนส์นั้น ได้ทำการทดสอบในทำนองเดียวกัน ข้อมูลของการทดสอบหาระดับความโค้ง สำหรับผิวที่สอง แสดงไว้ในตาราง 4.3

ตาราง 4.3 ข้อมูลในการทดสอบหาระดับความโค้งของผิวที่ล่อง

ครั้งที่	K cm ⁻²	c ₂ cm ⁻¹	R ₂ cm
1	2.186 × 10 ²	5.153 × 10 ⁻²	19.41
2	2.188 × 10 ²	5.158 × 10 ⁻²	19.39
3	2.191 × 10 ²	5.165 × 10 ⁻²	19.36
4	2.178 × 10 ²	5.134 × 10 ⁻²	19.48
5	2.162 × 10 ²	5.096 × 10 ⁻²	19.62
6	2.181 × 10 ²	5.141 × 10 ⁻²	19.45
7	2.219 × 10 ²	5.231 × 10 ⁻²	19.12
8	2.209 × 10 ²	5.207 × 10 ⁻²	19.20
		5.161 × 10 ⁻²	19.38

สำหรับเลขชี้กำลังที่สร้างขึ้น เป็นเลขชี้กำลังแกมราบ ในการทดสอบหาระดับความโค้งของผิวเว้า จำเป็นจะต้องอาศัยผิวโค้งอื่นมาวางสัมผัส อย่างเช่น ผิวโค้งของเลขชี้ศูนย์ โดยจะต้องทำการหาระดับความโค้งนี้เสียก่อน ได้ค่าความโค้งของผิวเลขชี้ศูนย์ 8.798×10^{-2} เซนติเมตร⁻² ซึ่งจะนำไปใช้ในการทดสอบความโค้งของผิวเว้า สำหรับข้อมูลของการทดสอบของผิวเว้า แสดงไว้ในตาราง 4.4

ตาราง 4.4 ข้อมูลการหาระดับความโค้งของผิวเว้า

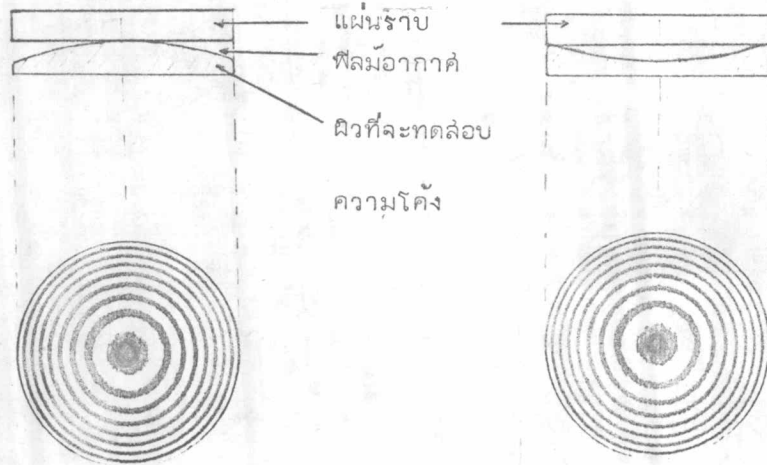
ครั้งที่	K (cm ⁻²)	c ₃ (cm ⁻¹)	R ₃ (cm)
1	1.502 × 10 ²	5.257 × 10 ⁻²	19.02
2	1.527 × 10 ²	5.199 × 10 ⁻²	19.23
3	1.531 × 10 ²	5.189 × 10 ⁻²	19.27
4	1.551 × 10 ²	5.142 × 10 ⁻²	19.45
5	1.567 × 10 ²	5.104 × 10 ⁻²	19.59
6	1.515 × 10 ²	5.227 × 10 ⁻²	19.13
7	1.566 × 10 ²	5.107 × 10 ⁻²	19.58
8	1.568 × 10 ²	5.102 × 10 ⁻²	19.60
		5.166 × 10 ⁻²	19.36

สำหรับการทดสอบผิวราบของเลนส์เว้า นั้น ทำการทดสอบได้โดยนำแผ่นราบ (test plate) มาวางสัมผัส พบวงแหวนของนิวตันปรากฏขึ้น แสดงว่า ผิวราบของเลนส์เว้าไม่ราบเรียบจริง ๆ แต่เป็นผิวที่มีค่าความโค้งอยู่เล็กน้อย ทำให้มีฟิล์มอากาศอยู่ระหว่างผิวของเลนส์ และแผ่นทดสอบ เนื่องจากผิวราบของเลนส์เว้าดังกล่าว มีรัศมีมีความโค้งยาวมาก และบริเวณผิวหน้าเลนส์เว้ามีขนาดเพียง 4.0 เซนติเมตร ซึ่งมีค่าน้อยมาก เมื่อเทียบกับค่ารัศมีมีความโค้ง ดังนั้น การแทรกสอดของแสงในฟิล์มอากาศ ระหว่างผิวราบของเลนส์เว้ากับแผ่นราบ จะเป็นไปตามสมการ 4.1 และ 4.2 กล่าวคือ

สำหรับวงมืด $2n'd \cos \theta = m\lambda$

และสำหรับวงสว่าง $2n'd \cos \theta = (m + \frac{1}{2})\lambda$

d คือ ความหนาของฟิล์มอากาศ



ลักษณะการแทรกสอดที่ได้ เมื่อวางแผ่นทดสอบสัมผัสกับผิวเลนส์

ภาพ 4-4 แสดงการตรวจสอบสำหรับผิวที่มีรัศมีมีความโค้งยาวโดยใช้แผ่นราบทดสอบ

เมื่อใช้กล้องจุลทรรศน์ส่องในแนวตั้งจากกับผิว ($\theta = 0$) สำหรับวงมืด ลำดับที่ m ซึ่งมีเส้นผ่าศูนย์กลาง D จะมีความสัมพันธ์กันตามสมการ 4.5

$$m = \frac{D^2}{4\lambda} C$$

$$\text{ดังนั้น} \quad R = \frac{D^2}{4m\lambda} \dots\dots\dots 4.8$$

โดยที่ R คือ รัศมีความโค้งของผิวที่จะทอดล่อ

และ C คือ ความโค้งของผิวที่จะทอดล่อ

จากสมการ 4.8 ถ้าทราบค่าลำดับของการแทรกสอด (m) และ เส้นผ่าศูนย์กลาง (D) ของวงมิด จะสามารถหาค่า R ได้ ในการทอดล่อ ได้ทำการตรวจสอบวัดลำดับของการแทรกสอด จากใจกลางเลนซ์จนถึง บริเวณขอบเลนซ์ในช่วงรัศมี 2 เซนติเมตร ได้ค่า $m=96$ ดังนั้น ค่ารัศมีความโค้งของผิวที่ส่องของเลนซ์เว้า จากสมการ 4.8 จะได้

$$R = \frac{(4.0)^2}{4 \times 96 \times 5.893 \times 10^{-5}}$$

$$R = 707.1 \quad \text{cm}$$

$$\text{และ} \quad C = 1.414 \times 10^{-3} \quad \text{cm}^{-1}$$

จากภาพ 4-4 กรณีผิวโค้งที่ทอดล่อเป็นผิวเว้าหรือผิวนูนจะให้ลวดลายการแทรกสอดที่เหมือนกัน สำหรับการตรวจสอบว่าเป็นผิวโค้งเว้าหรือนูน ทำได้โดยง่าย ๆ โดยการมองภาพวงแหวนของนิวตันในแนวทแยงมุมต่าง ๆ จากเส้นปกติ แล้วสังเกตการเคลื่อนของวงแหวน ขณะที่เปลี่ยนมุมของการมอง ถ้าวงแหวนเคลื่อนออกขณะที่มองในมุมกว้างขึ้น แสดงว่า ผิวโค้งดังกล่าวเป็นผิวโค้งนูน แต่ถ้าวงแหวนเคลื่อนในทิศตรงกันข้าม ผิวโค้งนั้นจะเป็นผิวโค้งเว้า สำหรับผิวที่ส่องของเลนซ์เว้าดังกล่าว ผลของการทอดล่อ พบว่า เป็นผิวโค้งนูน ดังนั้น ผิวที่ส่องจะมีค่ารัศมีความโค้ง -707.1 เซนติเมตร

ผลของการทอดล่อหารัศมีความโค้ง จากวิธีวงแหวนของนิวตัน จะได้ค่ารัศมีความโค้งของผิวต่าง ๆ พร้อมทั้งความหนาของเลนซ์ (d)จากการใช้ไมโครมิเตอร์วัด ดังแสดงไว้ในตาราง 4.5

ตาราง 4.5 แสดงค่าความโค้ง รัศมีความโค้ง และความหนาของเลนส์ที่สร้างขึ้น

	ผิวที่	C (cm ⁻¹)	R (cm)	d (cm)
เลนส์นูน	1	5.445 × 10 ⁻²	18.37	.6885
	2	-5.161 × 10 ⁻²	-19.38	
เลนส์เว้า	3	-5.166 × 10 ⁻²	-19.36	.2530
	4	-1.414 × 10 ⁻³	-707.1	

1.2 การหาทางยาวโฟกัสจากสมการการหักเห

จากค่ารัศมีความโค้งที่ได้ ค่าทางยาวโฟกัสของเลนส์ที่สร้างขึ้น สามารถหาได้จากสมการของช่างทำเลนส์ ในกรณีที่คิดว่าเลนส์ทั้งสองเป็นเลนส์บาง และหาค่าได้จากการแกะรอยรังสี ในกรณีที่คิดความหนาของเลนส์ด้วย

ในกรณีที่ของเลนส์บาง

$$K = (n_D - 1)(c_1 - c_2)$$

$$f = \frac{1}{K}$$

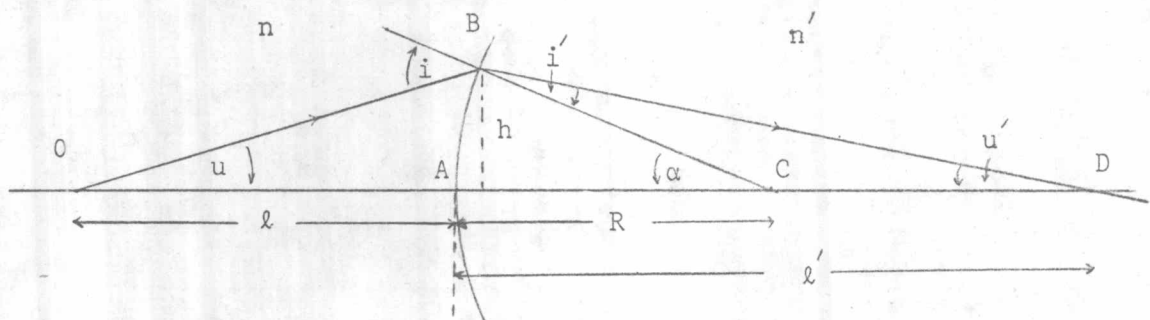
และ $K_{\text{รวม}} = K_1 + K_2$

ข้อมูลของการคำนวณหาทางยาวโฟกัส แสดงไว้ในตาราง 4.6

ตาราง 4.6 แสดงค่าทางยาวโฟกัสและกำลังของเลนส์จากสัมประสิทธิ์ของเลนส์บาง

	n_D	c_1 (cm^{-1})	c_2 (cm^{-1})	K (cm^{-1})	f (cm)
เลนส์นูน	1.62280	.05445	-.05161	.06606	15.14
เลนส์เว้า	1.69865	-.05166	-.001414	-.03510	-28.49
เลนส์ประกอบ	-	.05445	-.001414	.03096	32.30

ในการหาค่าของเลนส์หนา จะใช้การแกะรอยรังสีอย่างละเอียด โดยอาศัยสมการการหักเหและกฎของไซน์ (sine law)



ภาพ 4-5 แสดงทางเดินรังสีที่หักเหผ่านผิวโค้ง

ในการคำนวณจะต้องคำนึงถึงเครื่องหมายที่ได้กำหนดไว้ด้วย

จาก $i = \alpha - u$

และ $i' = \alpha - u'$

จะได้ $u' = u + (i - i')$ 4.9

จากกฎของไซน์ ในสามเหลี่ยม OBC

$$\frac{\sin(\pi-i)}{l-R} = \frac{\sin u}{R}$$

จะได้
$$\frac{\sin i}{l-R} = \frac{\sin u}{R}$$

ดังนั้น
$$\sin i = \frac{l-R}{R} \sin u \quad \dots\dots\dots 4.10$$

จากค่ามุม i ของรังสีตกกระทบ ที่มาจากวัตถุ และค่าระยะวัตถุ จะสามารถหาค่าของมุม i ได้จากสมการ 4.10 (สำหรับกรณีที่มีรังสีแสงขนานกับแนวแกน คือ เมื่อวัตถุอยู่ที่อนันต์ $u=0$ ทำให้มุม i มีค่าเท่ากับมุม α ดังนั้น ในกรณี $u=0$ จะได้ $\sin i = \sin \alpha = \frac{h}{R}$)

เมื่อทราบค่ามุม i ก็หามุม i' ได้จากสมการการหักเห

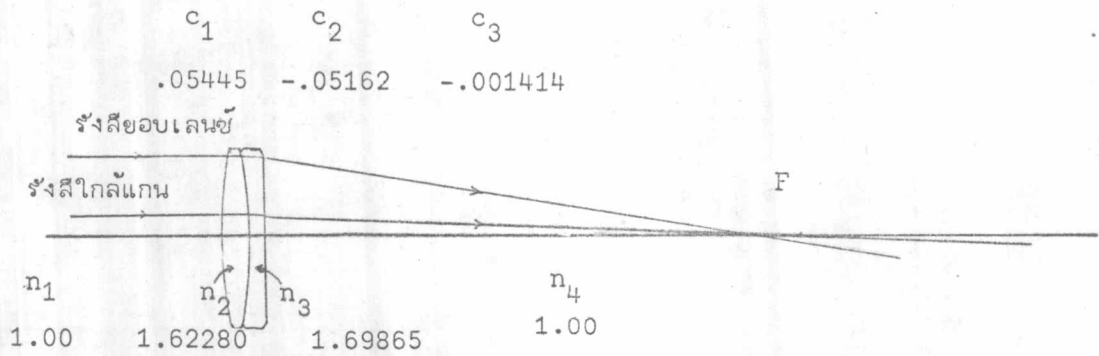
$$\sin i' = \frac{n}{n'} \sin i$$

จากค่ามุม i , i' และ u จะหาค่ามุม u' ได้จากสมการ 4.9 เมื่อทราบค่า u' และ i' หาค่า l' จากกฎของไซน์ ในสามเหลี่ยม BCD

$$\frac{\sin i'}{l'-R} = \frac{\sin u'}{R}$$

จะได้
$$l' = R + \frac{R \sin i'}{\sin u'} \quad \dots\dots\dots 4.11$$

ที่กล่าวมาเป็นการแกะรอยของรังสีที่ผิวโค้งแรก สำหรับผิวโค้งถัดไป รังสีตกกระทบของผิวที่สอง ก็คือรังสีหักเหจากผิวที่หนึ่ง ซึ่งมีความชัน u' หรือ u_{+1} สำหรับระยะวัตถุของผิวที่สอง ต้องคำนึงถึงความหนาหรือระยะระหว่างผิวทั้งสอง (d) ด้วย ค่า l'_{+1} จะได้จากค่า $l'-d$ ดังนั้นจะคำนวณหาค่ามุม i_{+1} ได้จากสมการ 4.10 แล้วจึงทำการแกะรอยรังสีต่อไป ตามวิธีการดังกล่าว ข้อมูลของการแกะรอยรังสี เพื่อหาทางยาวโฟกัสของเลนส์ประกอบ แสดงไว้ในตาราง 4.7 โดยจะทำการแกะรอยรังสีที่ตกกระทบขอบเลนส์ซึ่งสูง 2 เซนติเมตร และบริเวณใกล้แกนในช่วง 0.1 เซนติเมตร



ภาพ 4-6 แสดงทางเดินรังสีแสงเพื่อหาจุดโฟกัส

ตาราง 4.7 แสดงการแกะรอยรังสี เพื่อหาดำแหน่งโฟกัส

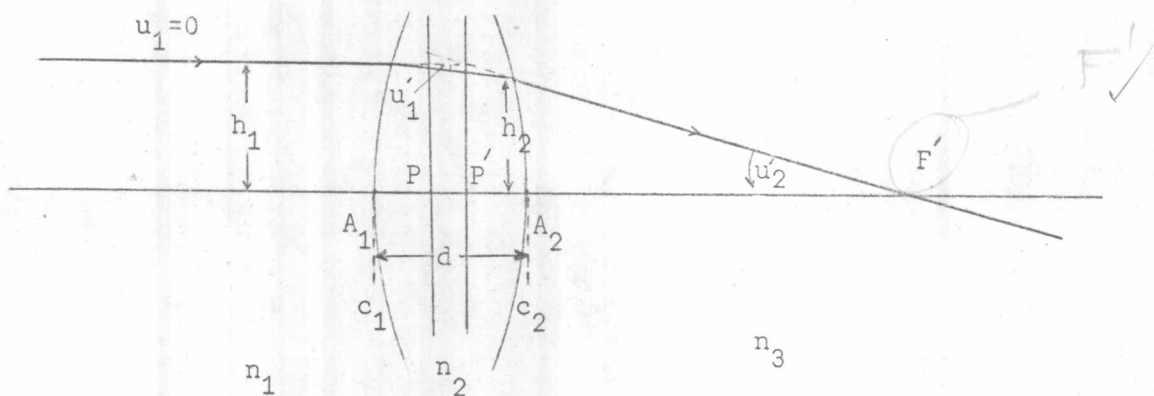
	รังสีใกล้แกน ($h_1 = 0.1$ cm)	รังสีขอบเลนซ์ ($h_1 = 2.0$ cm)
u_1	0	0
$\sin i_1 = \frac{h_1}{r_1}$	5.445×10^{-3}	.1089
i_1	5.445×10^{-3}	.1091
$\sin i'_1 = \frac{n_1}{n_2} \sin i_1$	3.355×10^{-3}	.06711
i'_1	3.355×10^{-3}	.06716
$u_2 = u'_1 = u_1 + (i_1 - i'_1)$	2.090×10^{-3}	.04194
$\sin u'_1$	2.090×10^{-3}	.04193
$l'_1 = R_1 + R_1 \cdot \frac{\sin i'_1}{\sin u'_1}$	47.86	47.77

ตาราง 4.7 (ต่อ) แสดงการแกะรอยรังสี เพื่อหาตำแหน่งโฟกัส

	รังสีใกล้แกน ($h_1 = 0.1$ cm)	รังสีขอบเลนซ์ ($h_1 = 2.0$ cm)
$l_2 = l_1' - d_1$	47.17	47.08
$\sin i_2 = \frac{l_2 - R_2}{R_2} \cdot \sin u_2$	-7.177×10^{-3}	-.1438
i_2	-7.177×10^{-3}	-.1443
$\sin i_2' = \frac{n_2}{n_3} \cdot \sin i_2$	-6.857×10^{-3}	-.1374
i_2'	-6.857×10^{-3}	-.1378
$u_3 = u_2' = u_2 + (i_2 - i_2')$	1.770×10^{-3}	.03544
$\sin u_2'$	1.770×10^{-3}	.03543
$l_2' = R_2 + R_2 \cdot \frac{\sin i_2'}{\sin u_2'}$	55.70	55.78
$l_3 = l_2' - d_2$	55.45	55.53
$\sin i_3 = \frac{l_3 - R_3}{R_3} \cdot \sin u_3$	-1.909×10^{-3}	-.03821
i_3	-1.909×10^{-3}	-.03822
$\sin i_3' = \frac{n_3}{n_4} \cdot \sin i_3$	-3.242×10^{-3}	.06491
i_3'	-3.242×10^{-3}	-.06496
$u_4 = u_3' = u_3 + (i_3 - i_3')$	3.103×10^{-3}	.06218
$\sin u_3'$	3.103×10^{-3}	.06214
$l_3' = R_3 + R_3 \cdot \frac{\sin i_3'}{\sin u_3'}$	31.68	31.05
ทางยาวโฟกัสหลังเลนซ์	31.68 (cm)	31.05 (cm)

ข้อมูลในตาราง 4.7 แสดงถึง เมื่อวัตถุอยู่ที่อนันต์ ให้รังสีที่ขนานกับแนวแกน หลังจากหักเหผ่านเลนส์ จะต้องตัดแนวแกนที่จุดโฟกัส ระยะ f'_3 เป็นระยะนับจากผิวหลังของเลนส์ถึงจุดโฟกัส ซึ่งเป็นระยะที่เรียกกันว่า ทางยาวโฟกัสหลังเลนส์ (back focal length) สำหรับทางยาวโฟกัสที่แท้จริงของระบบเลนส์นั้น จะต้องนับจาก ระนาบमुखยสำคัญ (principal plane) ถึงจุดโฟกัส และเรียกกันว่า ทางยาวโฟกัสย้งผล (effective focal length) ซึ่งจะทราบค่าทางยาวโฟกัสที่แน่นอน ต้องทราบถึงตำแหน่งของระนาบमुखยสำคัญเสียก่อน

การหาระนาบमुखยสำคัญของเลนส์⁽⁶⁾ เริ่มจากพิจารณาเลนส์หนาเดียว มีรังสีตกกระทบในโซนใกล้แกน ในแนวขนานกับแกนमुखยสำคัญ ถ้าให้ P, P' เป็นระนาบमुखยสำคัญทั้งสองของเลนส์ จะแสดงทางเดินแสงได้ดังภาพ 4-7



ภาพ 4-7 แสดงทางเดินของแสง เมื่อมีการหักเหผ่านเลนส์หนา

จากภาพ ทางยาวโฟกัสย้งผล (e.f.l) คือระยะ $P'F'$ ซึ่งเป็นทางยาวโฟกัสจริงของเลนส์ (f')

และ ทางยาวโฟกัสหลังเลนส์ (b.f.l) คือระยะ A_2F'

พิจารณา เมื่อ u'_2 เป็นมุมแคบ เนื่องจากเป็นรังสีใกล้แกน

$$f' = e.f.l = \frac{h_1}{\bar{u}'_2}$$

และ $f_b = b.f.l = \frac{h_2}{\bar{u}'_2}$

จากสมการเบื้องต้นของการหักเห

$$\begin{aligned} n_2 u_1' &= n_1 u_1 + (n_2 - n_1) \alpha \\ n_2 u_1' &= n_1 u_1 + (n_2 - n_1) h_1 c_1 \\ \text{ถ้า } u_1 &= 0 \quad n_2 u_1' = (n_2 - n_1) h_1 c_1 \quad \dots\dots\dots 4.12 \end{aligned}$$

จากสมการส่งผ่าน

$$h_2 = h_1 - d u_1' \quad \dots\dots\dots 4.13$$

และสมการหักเหที่ผิวที่สอง

$$n_3 u_2' = n_2 u_2 + (n_3 - n_2) h_2 c_2$$

แทนค่า h_2 จากสมการ 4.13

$$n_3 u_2' = n_2 u_1' + (n_3 - n_2) h_1 c_2 - (n_3 - n_2) d u_1' c_2$$

แทนค่า u_1' จากสมการ 4.12

$$n_3 u_2' = (n_2 - n_1) h_1 c_1 + (n_3 - n_2) h_1 c_2 - (n_3 - n_2) d \frac{(n_2 - n_1)}{n_2} h_1 c_1 c_2$$

$$n_3 \frac{u_2'}{h_1} = (n_2 - n_1) c_1 + (n_3 - n_2) c_2 - \frac{d(n_2 - n_1) c_1 \cdot (n_3 - n_2) c_2}{n_2}$$

$$\text{ดังนั้น} \quad \frac{n_3}{F'} = (n_2 - n_1) c_1 + (n_3 - n_2) c_2 - \frac{d(n_2 - n_1) c_1 \cdot (n_3 - n_2) c_2}{n_2}$$

กำหนดให้ $K = \frac{n_3}{F'}$, $K_1 = (n_2 - n_1) c_1$, $K_2 = (n_3 - n_2) c_2$

$$\text{จะได้} \quad K = K_1 + K_2 - \frac{d K_1 K_2}{n_2} \quad \dots\dots\dots 4.14$$

จะพบว่า K คือ กำลังรวมของเลนส์ K_1 คือกำลังของผิวโค้งที่ 1 และ K_2 คือกำลังของผิวโค้งที่สอง

$$K = \frac{n_3}{f'} = \frac{n_3 u_2'}{h_1}$$

$$u_2' = \frac{h_1 K}{n_3}$$

$$f_b = \frac{h_2}{u_2'}$$

$$f_b = \frac{h_1 - du_1'}{\frac{h_1 K}{n_3}}$$

$$f_b = \frac{n_3 h_1}{h_1 K} - \frac{n_3 d \left(\frac{n_2 - n_1}{n_2} \right) h_1 c_1}{h_1 K}$$

$$f_b = \frac{n_3}{K} - \frac{n_3}{K} \cdot \frac{d(n_2 - n_1)c_1}{n_2}$$

$$f_b = f' - \frac{f' \cdot d \cdot K_1}{n_2}$$

สำหรับในกรณีที่เลนส์อยู่ในอากาศ ($n_1 = n_3 = 1.00$) ค่า f' และ f_b จะหาได้

จากสมการ

$$K = \frac{1}{f'} = K_1 + K_2 - \frac{dK_1 K_2}{n} \dots\dots\dots 4.15$$

โดยที่

$$K_1 = (n-1)c_1$$

$$K_2 = -(n-1)c_2$$

$$n = \text{ดรรชนีหักเหของเลนส์}$$

$$d = \text{ความหนาของเลนส์}$$

และ

$$f_b = f' - \frac{dK_1 \cdot f'}{n} \dots\dots\dots 4.16$$

P_1, P'_1 เป็นระนาบमुखยล้าศัญของเลนซ์ชั้นที่หนึ่ง

P_2, P'_2 เป็นระนาบमुखยล้าศัญของเลนซ์ชั้นที่สอง

P, P' เป็นระนาบमुखยล้าศัญของเลนซ์คู่

d เป็นระยะระหว่าง P'_1 กับ P_2

S และ S' เป็นระยะระหว่าง PP_1 และ $P'P'_2$

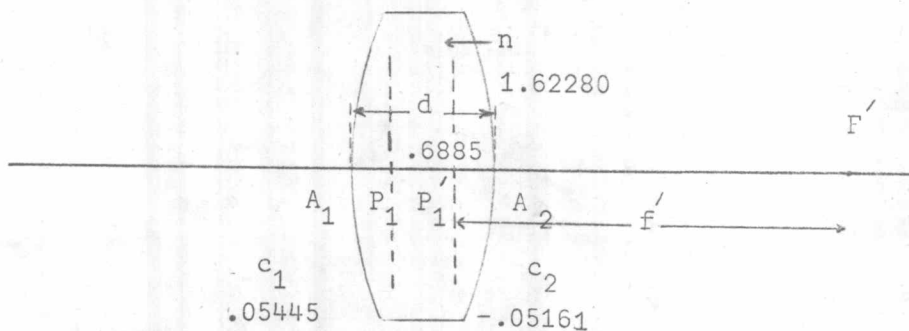
จากลักษณะทางเดินของแสงดังภาพ 4-8 จะสามารถคำนวณหาค่าของ S และ S'

ได้จาก

$$S = - \frac{f_1 d}{d - f'_1 + f_2} \dots\dots\dots 4.19$$

$$S' = \frac{f'_2 d}{d - f'_1 + f_2} \dots\dots\dots 4.20$$

ข้อมูลของการหาระนาบमुखยล้าศัญของเลนซ์ชั้น , เลนซ์เว้า และเลนซ์ประกอบเลนซ์ชั้น



ภาพ 4-9 แสดงตำแหน่งระนาบमुखยล้าศัญของเลนซ์ชั้นที่สร้างขึ้น

$$K_1 = (n-1)c_1 = 0.03391 \text{ cm}^{-1}$$

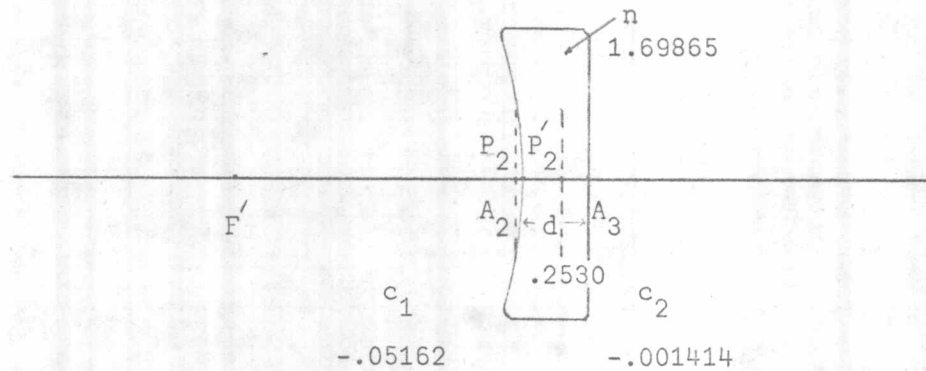
$$K_2 = -(n-1)c_2 = 0.03215 \text{ cm}^{-1}$$

$$K = K_1 + K_2 - dK_1K_2 = 0.06531 \text{ cm}^{-1}$$

$$f' = \frac{1}{K} = 15.31 \text{ cm}$$

$$A_2 P_1' = -\frac{K_1 df'}{n} = -.2202 \text{ cm}$$

$$A_1 P_1 = \frac{K_2 df'}{n} = .2088 \text{ cm}$$



ภาพ 4-10 แสดงตำแหน่งระนาบमुखยสำคัญของเลนส์แก้วที่สร้างขึ้น

$$K_1 = (n-1)c_1 = -.03806$$

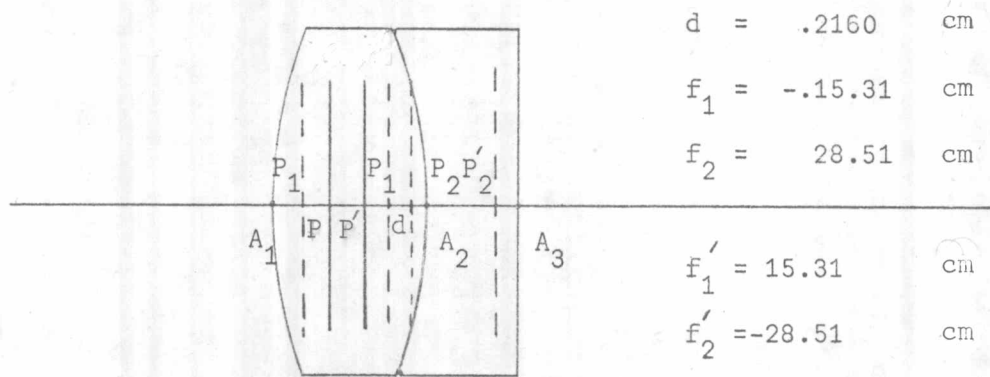
$$K_2 = -(n-1)c_2 = .0009878$$

$$K = K_1 + K_2 - \frac{dK_1 K_2}{n} = -.03508$$

$$f' = \frac{1}{K} = -28.51$$

$$A_3 P_2' = -\frac{K_1 df'}{n} = -.1500$$

$$P_2 A_2 = \frac{K_2 df'}{n} = -.004195$$



ภาพ 4-11 แสดงภาพของเลนส์ประกอบ และระนาบมอยล์สำคัญของเลนส์ประกอบ

จากภาพ 4-11

$$P'_2P' = S' = \frac{f'_2 d}{d - f'_1 + f_2} = -.4590 \text{ cm}$$

$$P_1P = S = -\frac{f_1 d}{d - f'_1 + f_2} = .2465 \text{ cm}$$

ดังนั้นจะได้ $A_3P' = P'_2P' - P'_2A_3 = -.6090 \text{ cm}$

$$A_1P = P_1P + A_1P_1 = .0373 \text{ cm}$$

เลนส์นูนมีกำลัง (K_1) .06531 และเลนส์เว้ามีกำลัง -.03508 หากกำลังรวม

ของเลนส์ประกอบ ได้จาก

$$K = K_1 + K_2 = .03023 \text{ cm}^{-1}$$

$$f = \frac{1}{K} = 33.08 \text{ cm}$$

ทางยาวโฟกัสยังผล	33.08	เซนติเมตร
และ ทางยาวโฟกัสหลังเลนส์	32.47	เซนติเมตร

จากการแกะรอยรังสีใกล้แกนอย่างละเอียด ในตาราง 4.7 ได้ค่าทางยาวโฟกัสหลังเลนส์ 31.68 เซนติเมตร ดังนั้น จะมีทางยาวโฟกัสยังผล 32.29 เซนติเมตร และจากการใช้สมการของเลนส์บางในตาราง 4.6 ได้ค่าทางยาวโฟกัส 32.30 เซนติเมตร จะเห็นได้ว่า เป็นค่าที่ใกล้เคียงกัน

1.3 การตรวจสอบคุณภาพของเลนส์จากการแกะรอยรังสีใกล้แกน

เนื่องจากเลนส์ที่สร้างขึ้น มีค่ารัศมีความโค้ง และความหนาแตกต่างไปจากค่าที่ได้กำหนด ออกแบบไว้ จึงต้องทำการตรวจสอบความคลาด โดยการแกะรอยรังสีอีกครั้ง โดยทำการแกะรอย ในทำนองเดียวกับเลนส์ที่ออกแบบ ซึ่งกล่าวไว้ในบทที่ 3 เพียงแต่ใช้ค่าของรัศมีความโค้ง และความหนาของเลนส์ที่สร้างขึ้น แทนค่าที่ได้กำหนดออกแบบ ค่าต่าง ๆ ที่คำนวณได้จากการแกะรอย แสดงไว้ในตาราง 4.8

$$u_1 = 0$$

$$h_1 = 2.0$$

$$\bar{u}_1 = -.0150150$$

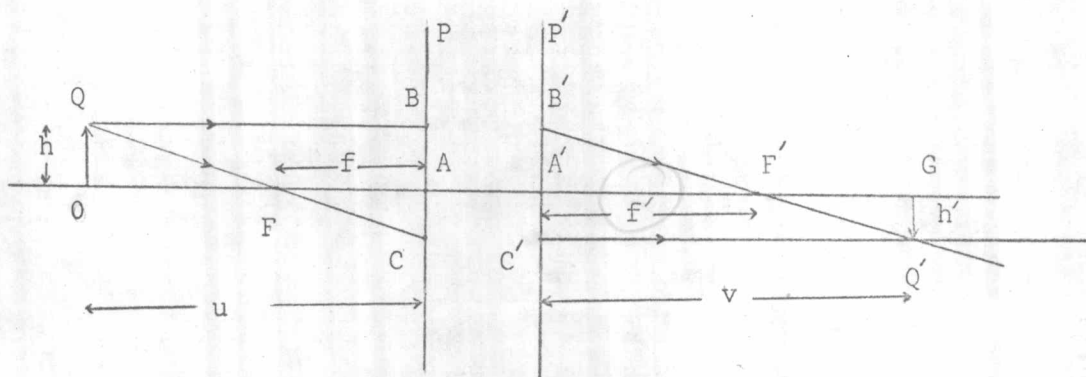
$$\bar{h}_1 = 0$$

ตาราง 4.8 แสดงข้อมูลของการกระจายรังสีของเส้นใยที่สร้างขึ้น

d_1	n_2	c_1	a_1	A_1	$u'_1 = u_2$	h_1	u_1/n_1	$\Delta_1(\frac{u}{n})$	$A_1 h_1$	S_{I_1}
d_2	n_3	c_2	a_2	A_2	$u'_2 = u_3$	h_2	u_2/n_2	$\Delta_2(\frac{u}{n})$	$A_2 h_2$	S_{I_2}
		c_3	a_3	A_3	$u'_3 = u_4$	h_3	u_3/n_3	$\Delta_3(\frac{u}{n})$	$A_3 h_3$	S_{I_3}
						(cm)			(cm)	(cm)
.6885	1.62280	.05445	.108900	.108900	.0417937	2.00000	0	.0257541	.217800	6.10847×10^{-4}
.2530	1.69865	-.05162	-.101754	-.232950	.0353842	1.97122	.0257541	-.00492332	-.459196	-5.26646×10^{-4}
		-.001414	-.00277465	-.0648185	.0620439	1.96227	.0208308	.0412131	-.127191	3.39774×10^{-4}
							.0620439			
			$a = hc$	$A = n(a-u)$	$u' = a - \frac{A}{n'}$	$h_{+1} = h - du'$				$S_I = \sum A^2 h \Delta(\frac{u}{n})$ $= 4.23975 \times 10^{-4}$
\bar{a}_1	\bar{A}_1	$\bar{u}'_1 = \bar{u}_2$	\bar{h}_1	S_{II_1}	δn_1		$\Delta_1(\frac{\delta n}{n})$	C_{L_1}	C_{T_1}	$\delta W_{40} = \frac{1}{8} S_I$
\bar{a}_2	\bar{A}_2	$\bar{u}'_2 = \bar{u}_3$	\bar{h}_2	S_{II_2}	δn_2	$(\delta n/n)_2$	$\Delta_2(\frac{\delta n}{n})$	C_{L_2}	C_{T_2}	$\delta W_{30} = \frac{1}{2} S_{II}$
\bar{a}_3	\bar{A}_3	$\bar{u}'_3 = \bar{u}_4$	\bar{h}_3	S_{II_3}	δn_3	$(\delta n/n)_3$	$\Delta_3(\frac{\delta n}{n})$	C_{L_3}	C_{T_3}	$\delta W_{20} = \frac{1}{2} C_L$
			(cm)	(cm)				(cm)	(cm)	(cm)
0	.0150150	-.00925253	0	8.42228×10^{-5}	0					5.29969×10^{-5}
-3.28838×10^{-4}	.0144814	-.00885406	.00637036	3.27391×10^{-5}	.0109455	.00674482	.00674482	1.46902×10^{-3}	2.02547×10^{-4}	1.91159×10^{-5}
-1.21747×10^{-5}	.0150193	-.0150314	.00861014	-7.87302×10^{-5}	.0218191	.0128449	.0128449	-2.80113×10^{-3}	1.74133×10^{-4}	15.0825×10^{-5}
					0			1.63376×10^{-3}	-3.78564×10^{-4}	$.188400 \times 10^{-5}$
$\bar{a} = \bar{h}c$	$\bar{A} = n(\bar{a} - \bar{u})$	$\bar{u}' = \bar{u} - \frac{\bar{A}}{n'}$	$\bar{h}_{+1} = \bar{h} - d\bar{u}'$	$S_{II} = \sum \bar{A} \bar{h} \Delta(\frac{\bar{u}}{n})$ $= 3.82317 \times 10^{-5}$				$C_L = \sum \bar{A} \bar{h} \Delta(\frac{\delta n}{n})$ $= 3.0165 \times 10^{-4}$	$C_T = \sum \bar{A} \bar{h} \Delta(\frac{\delta n}{n})$	

1.4 การหาทางยาวโฟกัสโดยวิธีดลอบกำลังขยาย

ในระบบของเลนส์ เมื่อทราบถึงตำแหน่งของระนาบมอยยสำคัญ และตำแหน่งจุดโฟกัสของระบบแล้ว จะสามารถแสดงลักษณะทางเดินแสง เมื่อผ่านระบบ ได้ดังภาพ 4-12



ภาพ 4-12 แสดงทางเดินแสงเมื่อผ่านระบบ

จากลักษณะทางเดินแสงดังภาพ จะสามารถหาความสัมพันธ์ระหว่างทางยาวโฟกัส และกำลังขยายได้ พิจารณา $\Delta A'B'F'$ และ $\Delta G'F'Q'$ เป็นสามเหลี่ยมคล้าย

$$\frac{h'}{f'} = \frac{h'}{v-f'} \dots\dots\dots 4.21$$

$$\frac{h'}{h} = \frac{v-f'}{f'}$$

$$m = \frac{v}{f'} - 1 \dots\dots\dots 4.21$$

และจาก ΔOFG และ ΔFAC เป็นสามเหลี่ยมคล้าย จะได้

$$\frac{1}{m} = \frac{u}{f} - 1 \dots\dots\dots 4.22$$

โดยที่ m คือ กำลังขยาย ซึ่งหาได้จากอัตราส่วนของความสูงของภาพ (h') ต่อความสูงของวัตถุ (h)

เมื่อมีการเปลี่ยนตำแหน่งวัตถุ ระยะภาพจะเปลี่ยนแปลงและกำลังขยายจะเปลี่ยนเช่นเดียวกัน ถ้าให้ m_1 คือกำลังขยาย เมื่อวัตถุอยู่ที่ตำแหน่งที่หนึ่ง และ m_2 เป็นกำลังขยายเมื่อวัตถุอยู่ที่ตำแหน่งที่สอง จากสมการ 4.21 จะได้

$$m_1 = \frac{v_1}{f'} - 1$$

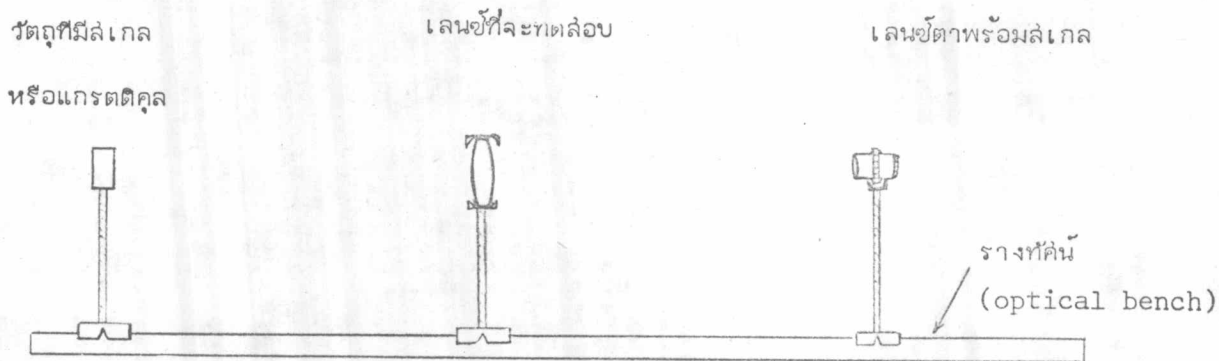
และ $m_2 = \frac{v_2}{f'} - 1$

ดังนั้น $m_1 - m_2 = \frac{v_1 - v_2}{f'} \dots\dots\dots 4.23$

ในทำนองเดียวกัน จากสมการ 4.22 จะได้

$$\frac{1}{m_1} - \frac{1}{m_2} = \frac{u_1 - u_2}{f} \dots\dots\dots 4.24$$

เมื่อระบบวางอยู่ในอากาศ $f = f'$ ดังนั้น จะสามารถหาค่าทางยาวโฟกัส
ยังผลของระบบ จากสมการ 4.23 หรือ 4.24 ก็ได้



ภาพ 4-13 แสดงการวัดเครื่องมือเพื่อทำการทดสอบโดยวิธีกำลังขยาย

การทำการทดลอง เริ่มต้นโดยคัดเครื่องมือดังภาพ 4-13 ถ้าตำแหน่งโฟกัสของเลนส์ตาเป็นตำแหน่งของภาพที่ได้จากเลนส์ จะเห็นภาพสเกลของวัตถุอย่างชัดเจน จากสเกลของเลนส์ตา จะสามารถทราบค่าขนาดของภาพได้ ทำการหาค่ากำลังขยาย แล้วเปลี่ยนตำแหน่งวัตถุไป (Δu) ซึ่งจะทำให้ระยะภาพและขนาดของภาพเปลี่ยนแปลง เลื่อนตำแหน่งเลนส์ตา จนได้ภาพชัดเจน และหาค่ากำลังขยายที่ตำแหน่งต่าง ๆ กัน

$$\text{จากสมการ} \quad u_1 - u_2 = f \left(\frac{1}{m_1} - \frac{1}{m_2} \right)$$

$$\Delta u = f \Delta \left(\frac{1}{m} \right)$$

$$\text{เมื่อ} \quad \Delta u = u_1 - u_2$$

$$\text{และ} \quad \Delta \left(\frac{1}{m} \right) = \frac{1}{m_1} - \frac{1}{m_2}$$

ดังนั้นเมื่อเขียนกราฟระหว่าง Δu กับ $\Delta \left(\frac{1}{m} \right)$ จะได้กราฟเส้นตรง โดยมีความชันเป็นค่าทางยาวโฟกัส (f) ในทำนองเดียวกันจากสมการ 4.23 จะได้

$$\Delta v = f' \Delta m$$

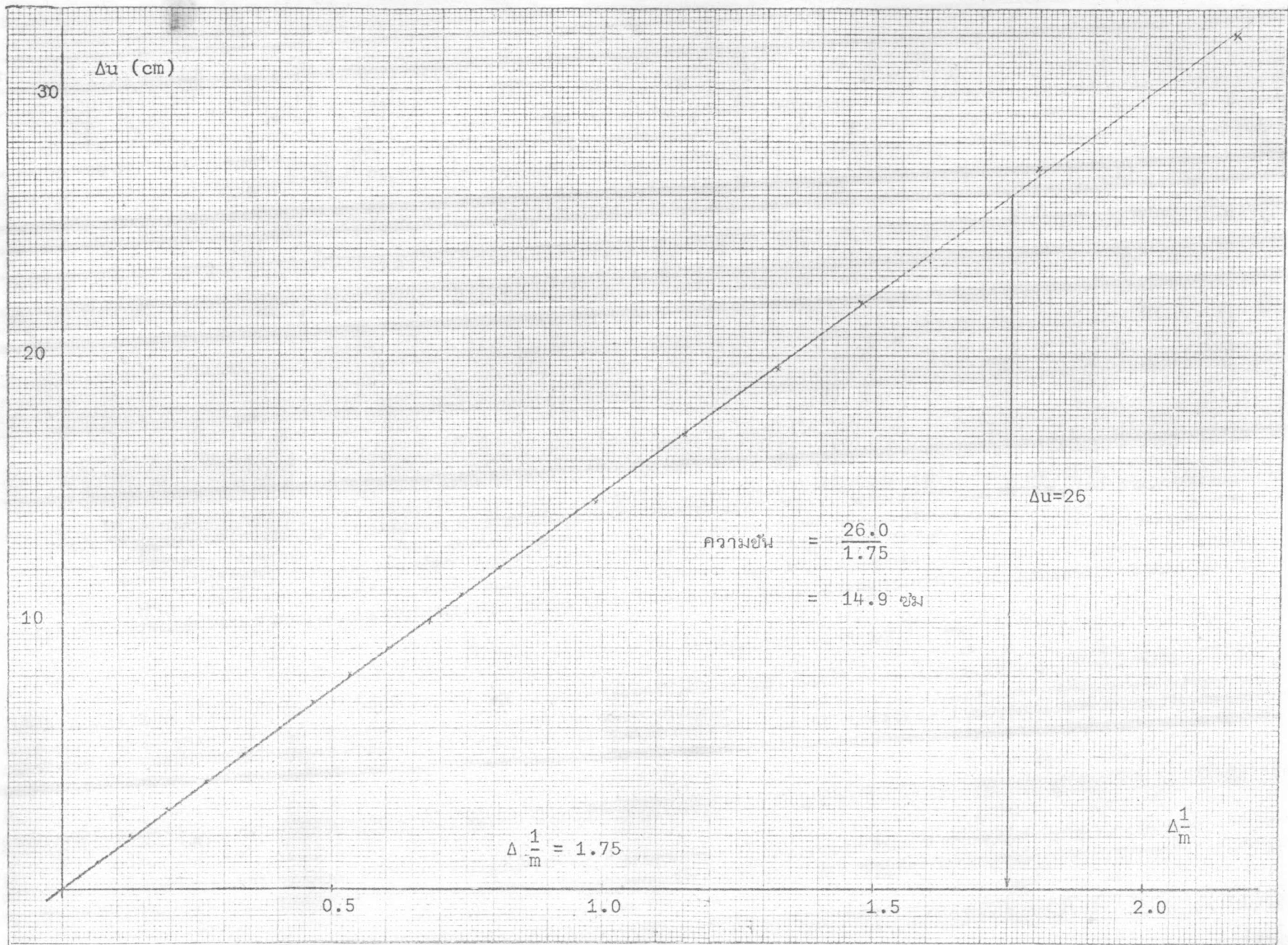
ซึ่งเมื่อเขียนกราฟระหว่าง Δv กับ Δm ก็จะได้กราฟเส้นตรง และมีความชันเป็นค่าทางยาวโฟกัสของเลนส์ที่ทดลองเช่นเดียวกัน

ในการทดลอง ได้ทำการทดลองเลนส์นูนเดี่ยว เลนส์เว้าเดี่ยว และเลนส์ประกอบ ซึ่งข้อมูลของการทดลอง เลนส์นูนเดี่ยว แสดงไว้ในตาราง 4-9

ตาราง 4.9 แสดงข้อมูลของการทดลองหาโฟกัสของเลนส์นูนโดยวิธีทดลองกำลังขยาย

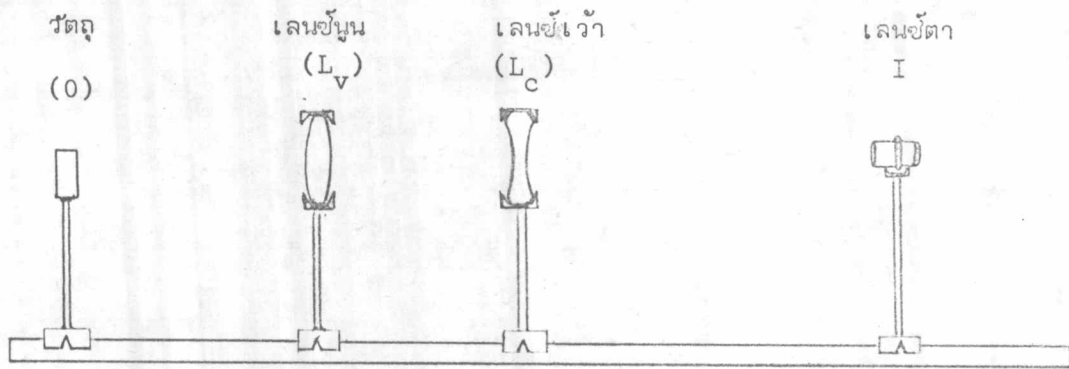
u	m	$\frac{1}{m}$	Δu	$\Delta \frac{1}{m}$
18.0	3.55	.282	0	0
18.5	3.18	.314	0.5	.032
19.0	2.88	.347	1.0	.065
20.0	2.45	.408	2.0	.126
21.0	2.10	.476	3.0	.194
22.0	1.82	.549	4.0	.267
23.0	1.62	.617	5.0	.335
24.0	1.46	.685	6.0	.403
25.0	1.34	.746	7.0	.464
26.0	1.23	.813	8.0	.531
27.0	1.13	.885	9.0	.603
28.0	1.04	.962	10.0	.680
29.0	0.980	1.02	11.0	.738
30.0	0.920	1.09	12.0	.808
32.5	0.790	1.27	14.5	.988
35.0	0.700	1.43	17.0	1.15
37.5	0.625	1.60	19.5	1.32
40.0	0.570	1.75	22.0	1.47
45.0	0.480	2.08	27.0	1.80
50.0	0.410	2.44	32.0	2.16

ได้ค่าความชันจากกราฟ 14.9 เซนติเมตร และเพื่อความละเอียดแน่นอน จึงทำการปิดกราฟจากข้อมูล ได้ค่าความชัน 14.9 เซนติเมตร ดังนั้น เลนส์นูนที่สร้างขึ้นมีทางยาวโฟกัส 14.9 เซนติเมตร



กราฟแสดงความสัมพันธ์ Δu กับ $\Delta \frac{1}{m}$ ในการทดลองเลนส์นูน

สำหรับเลนส์เว้า ซึ่งให้ภาพเสมือนเสมือนนั้น การตรวจสอบโดยวิธีกำลังขยาย ทำได้โดยใช้เลนส์นูนมาช่วยในการสร้างภาพ เพื่อใช้เป็นวัตถุเสมือนสำหรับเลนส์เว้าเสียก่อน เมื่อนำเลนส์เว้ามาวางรับทางเดินแสง จะได้ภาพจริงเกิดขึ้น ทำการกำหนดตำแหน่งแรก เมื่อยังไม่มีเลนส์เว้ามาวางรับแสง วัตถุขนาดของภาพที่ได้จากเลนส์นูน ซึ่งจะเป็นขนาดของวัตถุเสมือนสำหรับเลนส์เว้า เมื่อนำเลนส์เว้ามาวางรับแสงที่ออกจากเลนส์นูน จะได้ภาพที่ตำแหน่งใหม่ หาขนาดของภาพ และคำนวณหาค่ากำลังขยายจากขนาดภาพที่ได้กับขนาดวัตถุเสมือน เลื่อนตำแหน่งเลนส์เว้าเป็นตำแหน่งต่าง ๆ และหาค่ากำลังขยายของแต่ละตำแหน่ง



ภาพ 4-14 การวัดเครื่องมือสำหรับหาทางยาวโฟกัสของเลนส์เว้าโดยวิธีทดสอบกำลังขยาย

เมื่อทำการวางเฉพาะเลนส์นูน บันทึกขนาดภาพหรือวัตถุเสมือนของเลนส์เว้า (i_1) เมื่อวางเลนส์เว้า บันทึกตำแหน่งของเลนส์เว้า (L_c) ตำแหน่งเลนส์ตาที่รับภาพ (I) และขนาดของภาพ i_2 ข้อมูลสำหรับการทดสอบเลนส์เว้า แสดงไว้ในตาราง 4.10

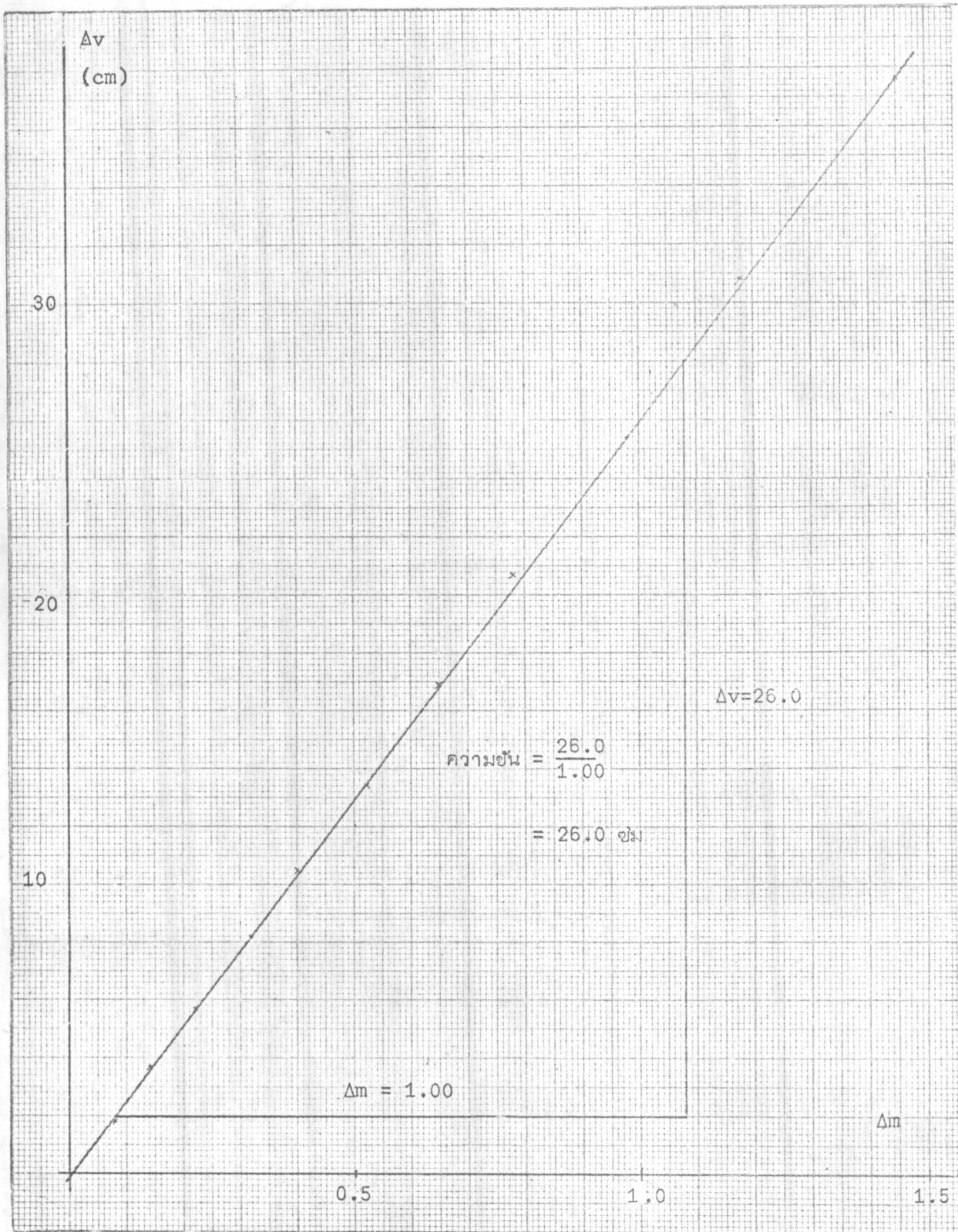
ตาราง 4.10 แสดงข้อมูลในการหาทางยาวโฟกัสของเลนส์เว้าโดยวิธีทดลองกำลังขยาย

L_c	I_2	i_1 (mm)	i_2 (mm)	m	v (cm)	Δm	Δv (cm)
52.0	96.3	3.0	8.10	2.70	44.3	1.45	37.6
53.0	90.5	3.0	7.30	2.43	37.5	1.18	30.8
54.0	86.1	3.0	6.70	2.23	32.1	0.98	25.4
55.0	82.4	3.0	6.10	2.03	27.4	0.78	20.7
56.0	79.6	3.0	5.70	1.90	23.6	0.65	16.9
57.0	77.1	3.0	5.30	1.77	20.1	0.52	13.4
58.0	75.2	3.0	4.95	1.65	17.2	0.40	10.5
59.0	73.8	6.0	9.40	1.57	14.8	0.32	8.10
60.0	72.4	6.0	8.80	1.47	12.4	0.22	5.70
61.0	71.4	6.0	8.35	1.39	10.4	0.14	3.70
62.0	70.5	6.0	7.95	1.33	8.50	0.08	1.80
63.0	69.7	6.0	7.50	1.25	6.70	0	0

จากกราฟได้ค่าความชัน 26.0 เซนติเมตร

และ จากการตัดกราฟได้ค่าความชัน 26.2 เซนติเมตร

ดังนั้น เลนส์เว้าที่สร้างขึ้น มีทางยาวโฟกัส 26.2 เซนติเมตร



กราฟแสดงความสัมพันธ์ระหว่าง Δv กับ Δm ในการทดลองเลนซ์เว้า

สำหรับเลนซ์ประกอบ ลักษณะการขีดเครื่องหมายและวิธีการทดลอง จะเหมือนกับการทดลอง
เลนซ์นูน ข้อมูลที่ได้แสดงไว้ในตาราง 4-11

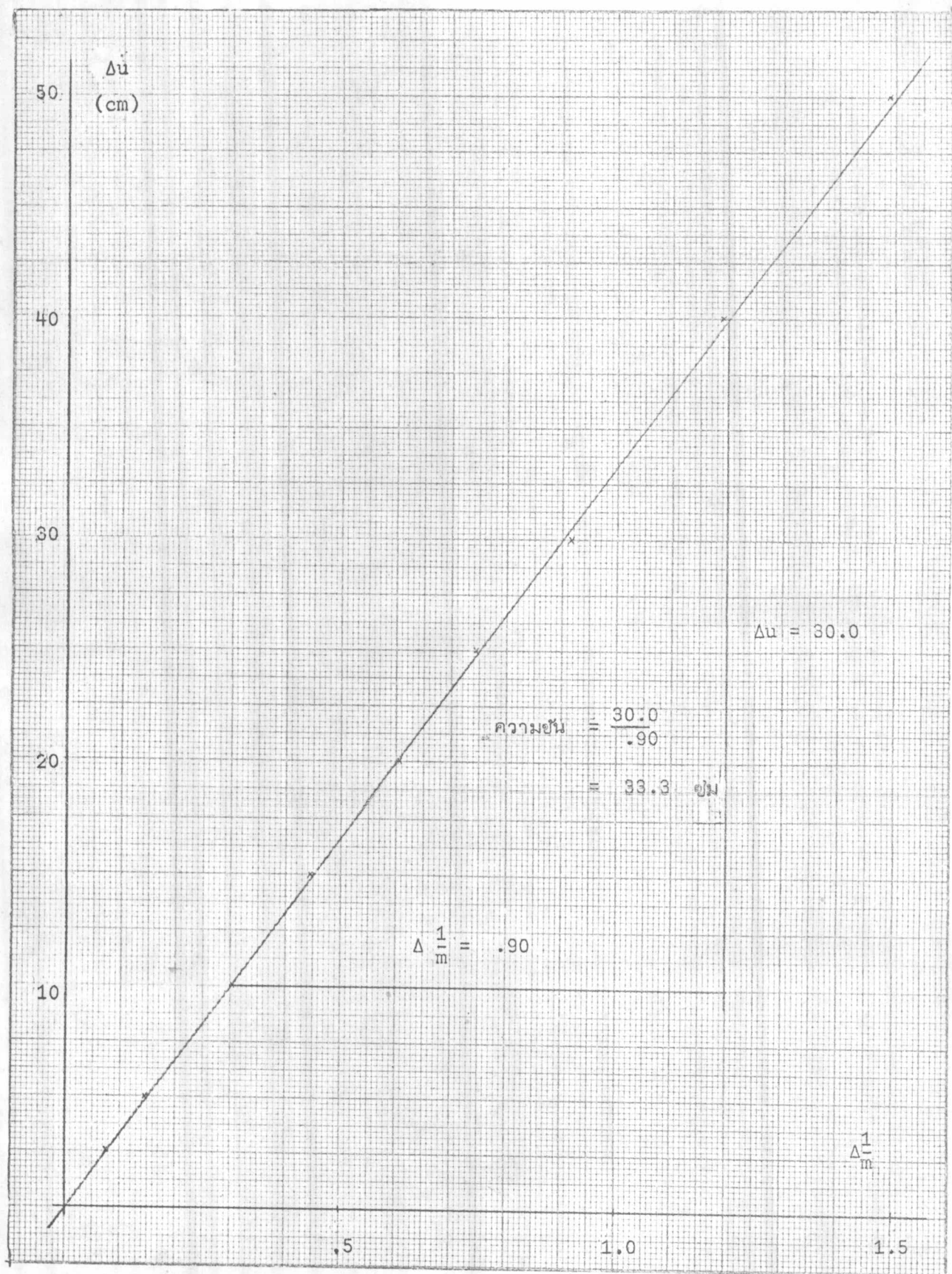
ตาราง 4.11 แสดงข้อมูลการหาค่าทางยาวโฟกัสของเลนซ์ประกอบโดยวิธีการทดลองกำลังขยาย

u (cm)	m	$\frac{1}{m}$	Δu (cm)	$\Delta \left(\frac{1}{m}\right)$
50.0	1.87	.535	0	0
52.5	1.64	.610	2.5	.075
55.5	1.47	.680	5.0	.145
60.0	1.19	.840	10.0	.305
65.0	1.02	.980	15.0	.445
70.0	.880	1.14	20.0	.605
75.0	.780	1.28	25.0	.745
80.0	.692	1.45	30.0	.915
90.0	.578	1.73	40.0	1.19
100.0	.492	2.03	50.0	1.49

จากกราฟ ได้ค่าความชัน 33.3 เซนติเมตร

จากการผิดพลาด ได้ค่าความชัน 33.3 เซนติเมตร

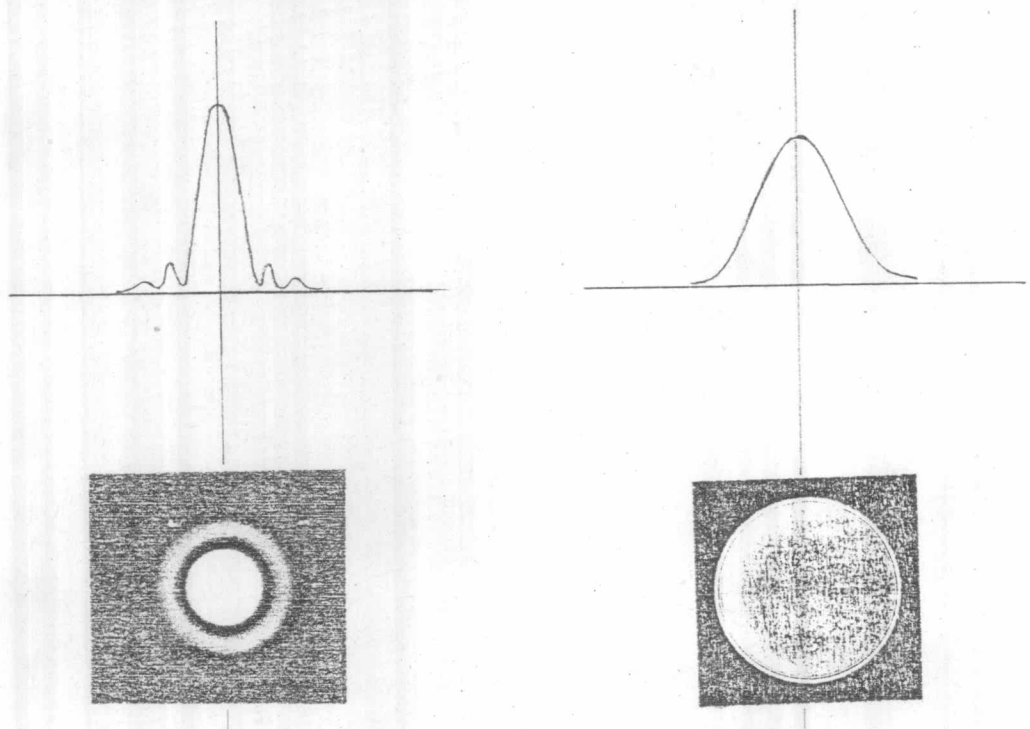
ดังนั้น เลนซ์ประกอบที่สร้างขึ้น มีทางยาวโฟกัส 33.3 เซนติเมตร



กราฟแสดงความสัมพันธ์ระหว่าง Δu กับ $\Delta \frac{1}{m}$ ในการทดลองเลนซ์ประกอบ

1.5 การทดลองด้วยดาว

ดาวหรือจุดแสง (point source) เป็นแหล่งกำเนิดแสง ที่จะให้รังสีเป็นลำขนานกัน หรือให้หน้าคลื่นที่เป็นระนาบ (plane wave front) ซึ่งเป็นสิ่งจำเป็นสำหรับการทดลองคุณภาพของเลนส์ และยังใช้ในการหาตำแหน่งโฟกัสของเลนส์ได้ด้วย ถ้าเลนส์ที่จะทดลองเป็นเลนส์ที่สมบูรณ์ ไม่มีความคลาดใด ๆ เมื่อนำมารับรังสีขนาน รังสีที่เข้ามาจะหักเหไปรวมกันที่จุดโฟกัส และทำให้เกิดภาพของดวงกลมแฉะ ซึ่งเป็นลักษณะของการกระจายความเข้มของคลื่นแสงอันเป็นผลมาจากการเลี้ยวเบน ดังได้กล่าวไว้แล้วในบทที่ 2 แต่ถ้าเลนส์ที่ทดลองมีความคลาด ลักษณะการกระจายความเข้มจะแตกต่างออกไป การบันทึกลักษณะของการกระจายความเข้มทำได้โดยใช้ฟิล์มบันทึกภาพ

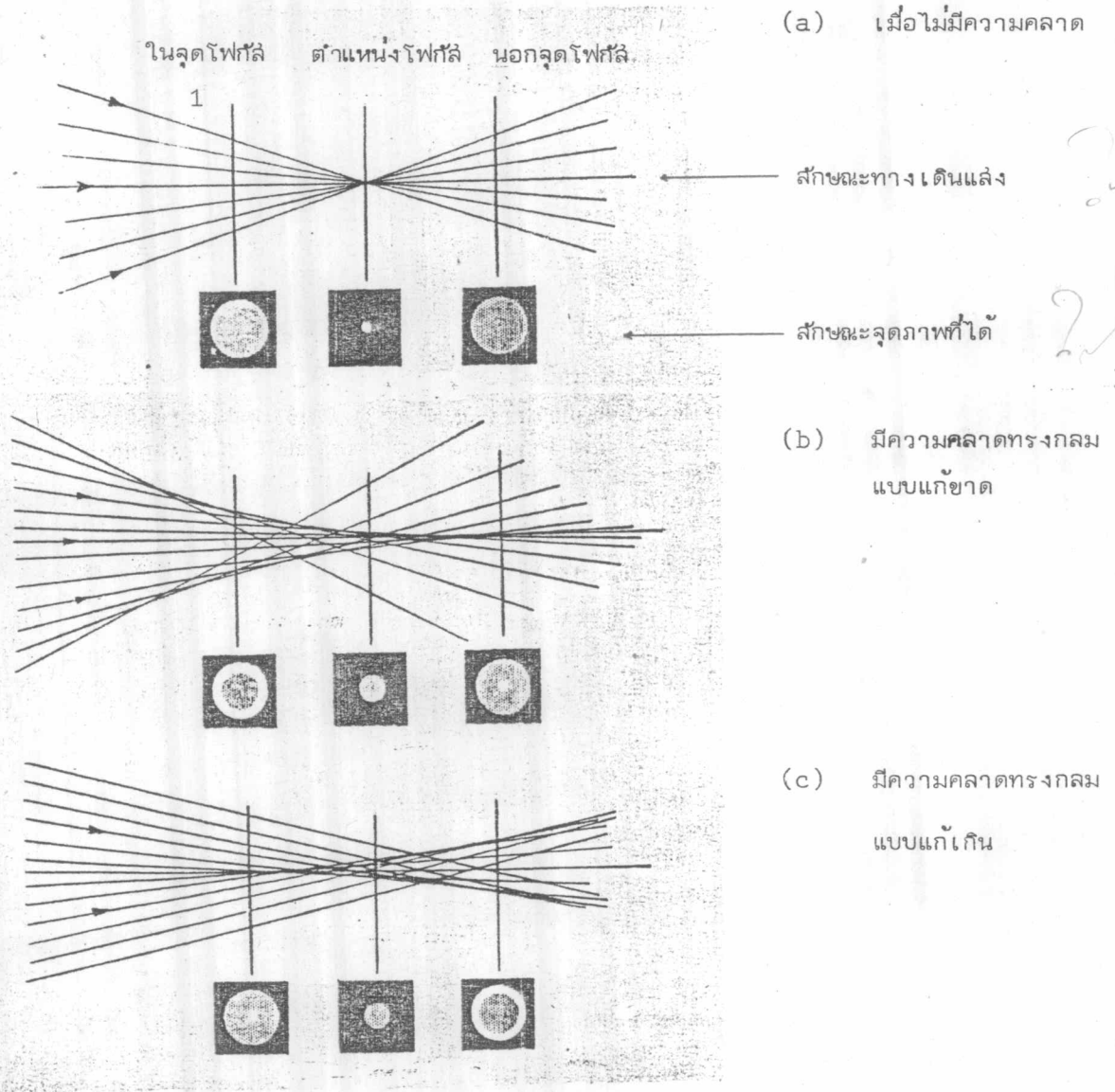


เมื่อไม่มีความคลาด

เมื่อมีความคลาด

ภาพ 4-15 แสดงภาพจุดแสงที่ตำแหน่งโฟกัส และการกระจายความเข้มของแสงบนภาพ

เมื่อพิจารณาสภาวะทางเดินแสงที่เข้ามาขนานกับแนวแกน แล้วหักเหผ่านเลนส์ ดังภาพ 4-16

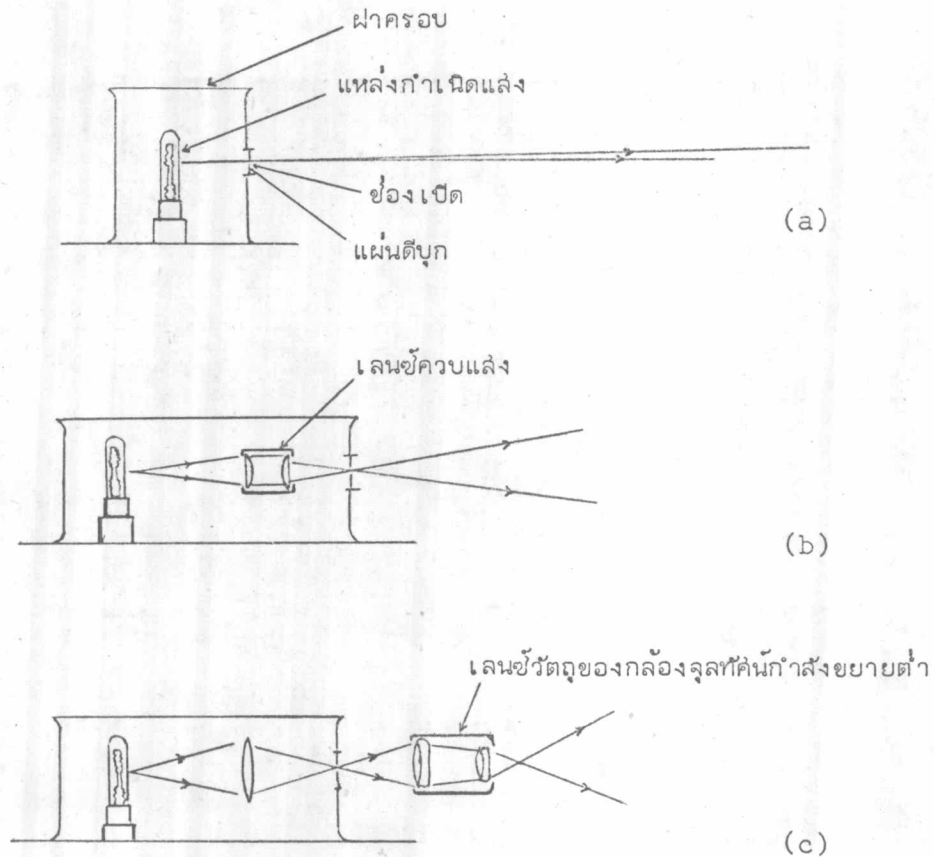


ภาพ 4-16 แสดงทางเดินแสง และสภาวะของจุดภาพที่ได้จากการทดลองด้วยดาว กรณีเลนซ์
 ไม่มีความคลาด (a) มีความคลาดทรงกลมแบบแก้ขาด (b) และมีความ
 คลาดทรงกลมแบบแก้เกิน (c)

เนื่องจากทางเดินรังสีแสงของส่วนบริเวณใกล้แกนจะอยู่ชิดกัน และโฟกัสที่จุดใกล้เคียงกัน รังสี
แสงจากส่วนบริเวณใกล้แกน จะมีความเข้มสูงกว่าบริเวณอื่น ดังนั้น เมื่อพิจารณาในกรณีของเลนซ์
ที่มีความคลาดทรงกลมแบบแก๊ยขาด (ภาพ b) เมื่อบันทึกภาพในบริเวณช่วงในจุดโฟกัส (ตำแหน่ง
1) รังสีจากส่วนใกล้แกน จะหนาแน่นที่บริเวณขอบนอก ซึ่งทำให้บริเวณขอบดวงมีความเข้ม
สูง และเมื่อบันทึกภาพในตำแหน่งนอกจุดโฟกัส พบว่า รังสีส่วนใกล้แกนจะรวมกันหนาแน่นที่บริเวณ
ใจกลางดวง ทำให้บริเวณใจกลางดวง มีความเข้มสูงกว่าบริเวณอื่น

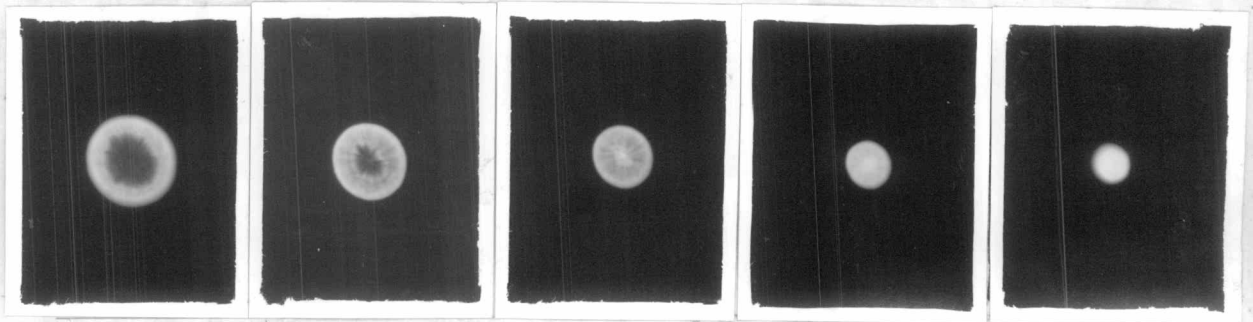
ดังนั้น สำหรับเลนซ์ที่มีความคลาดแบบแก๊ยขาด เมื่อทำการบันทึกภาพที่ตำแหน่งในจุดโฟกัส
ภาพที่ได้ จะมีลักษณะเป็นดวงกลมมีขอบดวงสว่างเป็นวง และที่ตำแหน่งนอกจุดโฟกัส ภาพที่ได้จะ
เป็นดวงกลม มีจุดสว่างที่ใจกลางดวง ดังลักษณะจุดภาพที่แสดงไว้ในภาพ 4-15 (b) สำหรับ
เลนซ์ที่มีความคลาดแบบแก๊ยเกิน สามารถพิจารณาได้ในทำนองเดียวกัน จากลักษณะของภาพของ
จุดแสงที่บันทึกที่ตำแหน่งต่าง ๆ จะเป็นสิ่งที่แสดงถึง ลักษณะความคลาดที่เลนซ์มีอยู่

ภายในห้องปฏิบัติการที่ค้นคำสตร์ สามารถที่จะสร้างดาวหรือจุดแสง⁽⁷⁾ ได้อย่างง่าย ๆ
โดยใช้แหล่งกำเนิดแสงที่มีความเข้มสูง เช่นหลอดฟลูออโรค (arc lamp) หรือหลอดไฟฟ้าแบบสปาร์ค
(condensed electric spark lamp) วางไว้ในฝาครอบที่มีช่องแสงออก ช่องดังกล่าวจะปิดไว้
ด้วยแผ่นดีบุกบาง ๆ (tin foil) ที่ใช้ปลายเข็มเจาะรูเล็ก ๆ ไว้ แสงจากหลอดไฟ จะผ่านจุดที่
เจาะไว้ออกมา ถ้ารูเข็มเล็กมาก และตั้งอยู่ในระยะที่ห่างมาก ก็พอจะถือได้ว่า รูที่เจาะเป็นจุด
แสงที่ให้รังสีเป็นลำขนานออกมา แสงที่ได้อาจมีความเข้มต่ำ แต่สามารถเพิ่มความเข้มบริเวณจุด
กำเนิดแสงได้ โดยใช้เลนซ์นูน หรือ เลนซ์ควบแสง (condenser lens) มาช่วยในการรวมแสง
จากหลอดไฟ ให้โฟกัสที่ตำแหน่งจุดแสง ดังแสดงไว้ในภาพ 4-17 ซึ่งในงานวิจัยนี้ เลือกใช้จุด
กำเนิดแสง แบบ (b)



ภาพ 4-17 แสดงการสดสร้างดาวสำหรับใช้ในห้องปฏิบัติการ (a)จุดกำเนิดแสงอย่างง่าย (b) จุดกำเนิดแสงที่ใช้เลนส์ควบแสงช่วย จะให้การกระจายแสงจากจุดแสงในมุมที่กว้างขึ้น และ (c) จุดกำเนิดแสงที่ใช้เลนส์วัตถุของกลองจุลที่คั่นก้ำสังขยายตัว เพื่อให้ได้จุดแสงที่มีขนาดเล็กมาก

จากจุดกำเนิดแสงที่สร้างขึ้น นำเลนส์ที่จะทดสอบมาวางรับแสงขนาน ควรจัดวางเลนส์ที่ทดสอบให้ห่างจากจุดแสงมาก ๆ อย่างน้อยควรเป็น 20 เท่าของทางยาวโฟกัสของเลนส์ที่จะทดสอบ ทำการบันทึกภาพของจุดแสง ที่ตำแหน่งต่าง ๆ ในบริเวณช่วงระยะโฟกัสของเลนส์ บันทึกตำแหน่งของฟิล์ม ในแต่ละตำแหน่งที่ทำกรถ่ายภาพ จากภาพถ่ายที่ได้ จะแสดงถึงตำแหน่งโฟกัสและคุณภาพของเลนส์ที่ทดสอบได้ ผลของการทดสอบสำหรับเลนส์วัตถุที่สร้างขึ้น แสดงไว้ในภาพ 4-18



รูป

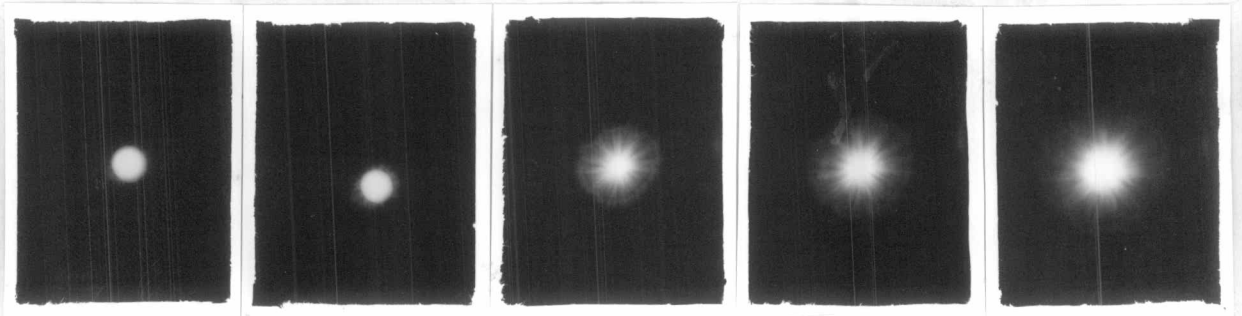
1

2

3

4

5



รูป

6

7

8

9

10

ภาพ 4-18 แสดงภาพถ่ายที่ได้จากการทดลองด้วยดาว

รูป 1 - 5 เป็นภาพที่บันทึกในช่วงในโฟกัส

รูป 6 เป็นภาพที่ตำแหน่งโฟกัส

รูป 7 - 10 เป็นภาพที่บันทึกในช่วงนอกโฟกัส

จากลักษณะของภาพที่ได้ พบว่า ความเข้มบนดวงกลม มีลักษณะแตกกระจายกลืนกันไปหมด อันเป็นผลสืบเนื่องจากลำเหตุสำคัญ 2 ประการ คือ

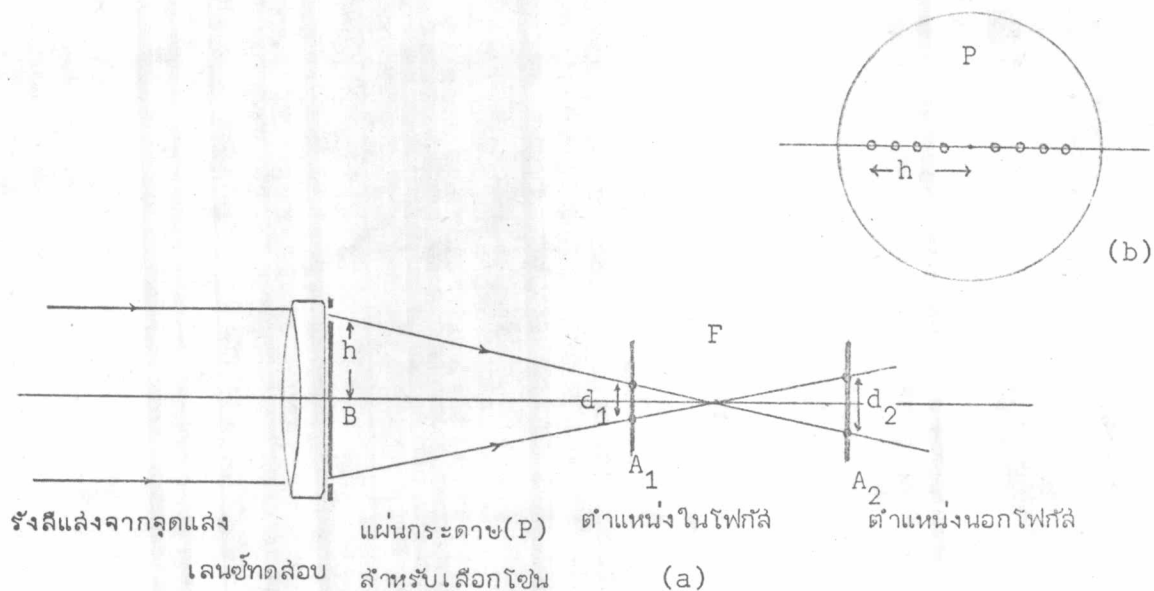
1. รูเข็มบนแผ่นดึบก ไม่เป็นรูกลมอย่างแท้จริง ทำให้ลักษณะการกระจายความเข้มอันเป็นผลสืบเนื่องจากการเลี้ยวเบน ไม่เป็นไปในลักษณะที่กลมมาตร อันจะสังเกตได้จาก ภาพ 4-15

รูป 1 - 5

2. เลนส์ที่ทดสอบมีความคลาดทรงกลมแบบแก๊ยขาด โดยสังเกตุได้จากลักษณะของภาพที่ได้ โดยเฉพาะ รูปที่ 7 ใจกลางดวงจะเป็นภาพของจุดแสง ซึ่งเป็นตำแหน่งโฟกัสของส่วนใกล้แกน และมีรั้วเป็นวงกลมรอบ อันเป็นลักษณะของช่วงนอกโฟกัสของรังสีแสงจากโซนขอบเลนส์ ภาพที่แสดงไว้ เนื่องจากฟิล์มที่บันทึกใช้เวลารับแสงนานเกินควร ลวดลายของการแทรกสอดจึงกลมกลืนกัน ไม่สามารถฮัดภาพให้เห็นรายละเอียดของลวดลายดังกล่าวได้

1.6 การทดสอบโดยวิธีของฮาร์ทแมน

จากจุดแสงที่สร้าง สามารถทำการทดสอบคุณภาพของเลนส์ โดยการหาตำแหน่งโฟกัสจากแต่ละโซน บนผิวหน้าเลนส์ได้ โดยหลักการง่าย ๆ ของฮาร์ทแมน จากค่าโฟกัสแต่ละโซน แสดงถึงลักษณะความคลาดทรงกลมของเลนส์ที่สร้างอื่น



ภาพ 4-19 แสดงหลักการทดสอบหาตำแหน่งโฟกัสโดยวิธีของฮาร์ทแมน

(a) และแผ่นกระดางที่ใช้ในการเลือกโซนบนผิวเลนส์ (b)

ทำการทดสอบ โดยวางเลนส์ที่จะทดสอบรับรังสีขนานจากจุดแสง ด้านหลังของเลนส์ปิดด้วยแผ่นกระดางดำ ที่เจาะรูไว้เพื่อเลือกโซน รังสีแสงจากโซนที่เลือก จะไปตัดกันที่จุดโฟกัส (F) ของโซนนั้น การหาตำแหน่งจุด F สามารถหาได้จากลุ่มการ

$$BF = BA_1 + \frac{d_1}{d_1 + d_2} A_1 A_2 \dots\dots\dots 4.25$$

สำหรับระยะ d_1 และระยะ d_2 ทำการวัดหาค่าได้จากการใช้ฟิล์มบันทึกภาพที่ตำแหน่ง A_1 และ A_2 ซึ่งแต่ละตำแหน่ง จะให้ภาพจุด 2 จุดบนแผ่นฟิล์ม ระยะระหว่างจุดศูนย์กลางของจุดทั้งสองที่ตำแหน่ง A_1 และ A_2 ก็คือระยะ d_1 และ d_2 ตามลำดับ ซึ่งวัดหาค่าได้โดยใช้กล้องจุลทรรศน์ชนิดเลื่อน บันทึกระยะ BA_1 และ BA_2 จากนั้น คำนวณหาค่าทางยาวโฟกัส ตามสมการของอาร์ทแมน ได้ทำการทดลองโดยเลือกโซนต่าง ๆ 8 โซน ซึ่งข้อมูลของการทดลองแสดงไว้ในตาราง 4-12

ตาราง 4.12 แสดงข้อมูลการหาตำแหน่งโฟกัสของแต่ละโซนโดยวิธีของอาร์ทแมน

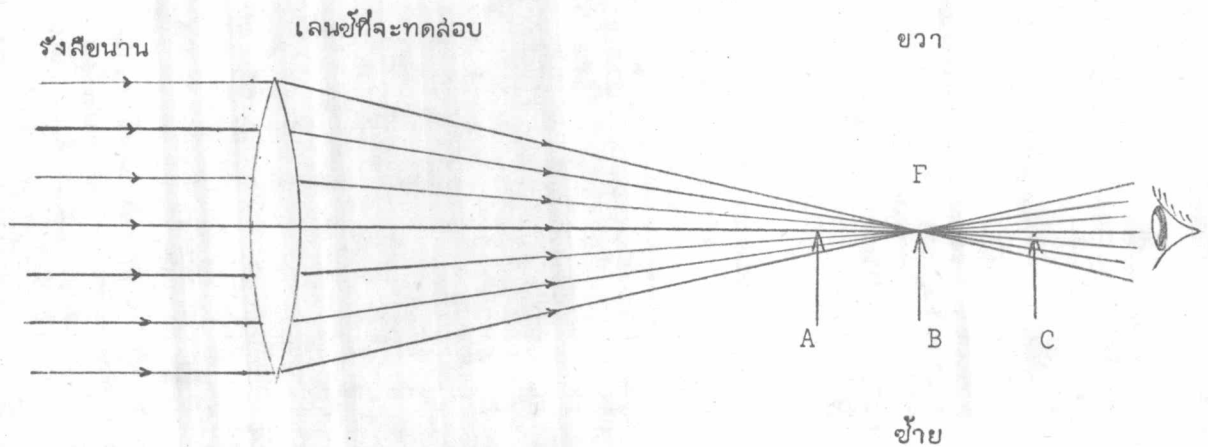
h (cm)	BA_1 (cm)	BA_2 (cm)	d_1 (cm)	d_2 (cm)	$d_1 + d_2$ (cm)	BF (cm)
2.00	29.8	37.8	.240	.751	.991	31.7
1.75	29.5	37.5	.321	.565	.886	32.4
1.50	29.8	37.8	.312	.429	.741	33.2
1.25	29.5	37.5	.302	.306	.608	33.5
1.00	29.8	37.8	.241	.243	.484	33.8
0.75	29.5	37.5	.221	.156	.377	34.2
0.50	29.8	37.8	.126	.096	.222	34.3
0.25	29.5	37.5	.074	.045	.119	34.5

จากข้อมูลที่ได้ มีการเคลื่อนของจุดโฟกัสตามแนวแกน ซึ่งแสดงถึงความคลาดทรงกลมแบบแก๊ยาดของเลนส์ที่สร้างขึ้น

1.7 การทดสอบโดยวิธีคมมืดของฟูโคลท์

จากจุดกำเนิดแสงที่สร้างขึ้น จะมีวิธีการทดสอบคุณภาพของเลนส์ โดยอาศัยหลักการของฟูโคลท์ ซึ่งทำได้อย่างง่าย ๆ โดยใช้คมมืดตัดลำแสงที่บริเวณด้านหลังเลนส์ และจะนำไปสู่ตำแหน่งโฟกัสของเลนส์ได้ นอกจากนี้ วิธีการทดสอบ ยังแสดงถึงคุณภาพของเลนส์เกี่ยวกับความคลาดทรงกลมอีกด้วย

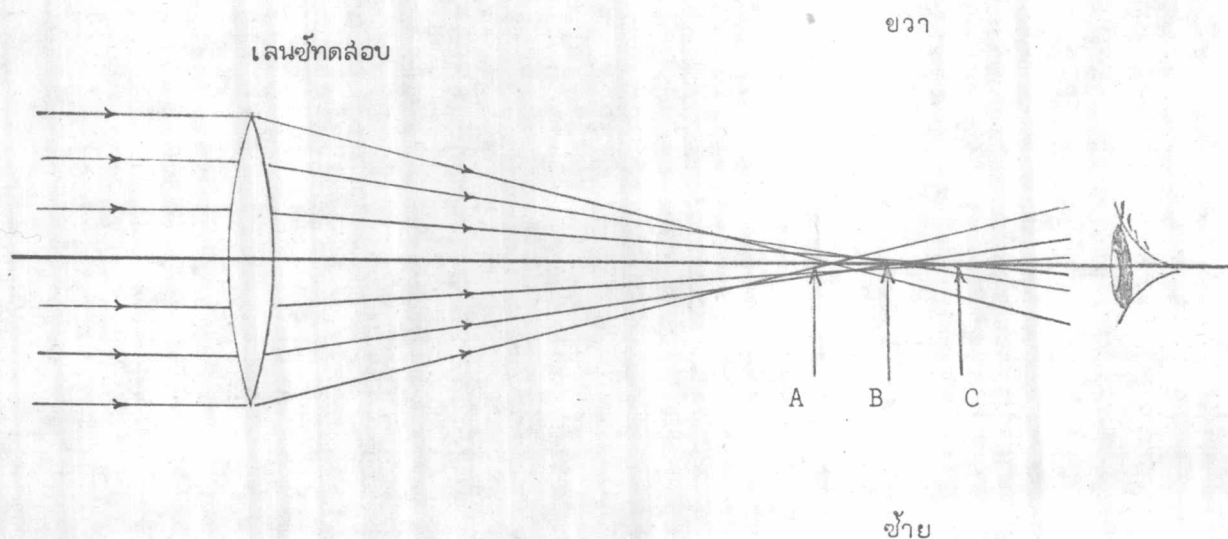
หลักการของการทดสอบ สามารถพิจารณาได้จากทางเดินรังสีที่ถูกใบมีดตัด โดยเริ่มต้นพิจารณากรณีที่เลนส์ไม่มีความคลาดทรงกลม



ภาพ 4-20 แสดงการทดสอบโดยวิธีคมมืดของฟูโคลท์สำหรับเลนส์ที่ไม่มีความคลาด

เมื่อนำเลนส์ที่ไม่มีความคลาดมาวางรับรังสีขนาน รังสีจากทุกส่วนบนผิวหน้า เลนส์จะหักเหไปรวมกันที่จุดโฟกัส (F) จุดเดียวกัน ดังทางเดินของแสงในภาพ 4-20 เมื่อใช้ตามองภาพที่ตามองเห็น จะมีลักษณะเป็นดวงสว่าง ขณะที่เลื่อนใบมีดเข้าตัดลำแสงทางด้านซ้าย เมื่อใบมีดอยู่ที่ตำแหน่ง A ซึ่งเป็นช่วงภายในโฟกัส ลำแสงทางด้านซ้ายจะถูกบังโดยคมมืด ทำให้ภาพดวงสว่างที่ตามองเห็นมืดทางด้านซ้ายเข้ามา ยืนยันถึงตำแหน่งที่คมมืดอยู่ว่าเป็นตำแหน่งที่อยู่ภายในโฟกัสของเลนส์ แต่ถ้าคมมืดอยู่ที่ตำแหน่ง C ซึ่งเป็นส่วนภายนอกโฟกัส รังสีแสงที่มาจากด้านขวาจะถูกบัง ภาพดวงสว่างที่ตามองจะมืดเข้าทางด้านขวา แต่ถ้าเลื่อนใบมีดมาที่ตำแหน่ง B แล้วทำการตัดลำแสงที่จุด F จะพบว่า ดวงสว่างจะมืดทันที เพราะลำแสงจากทุกส่วนถูกบังด้วยใบมีดจนหมด ยืนยันถึงตำแหน่งที่คมมืดอยู่ คือ ตำแหน่งโฟกัสของเลนส์ที่ทดสอบพอดี ในกรณีที่เลนส์มีความคลาดทรงกลม ลำแสง

จากแต่ละโซนของหน้าเลนส์ จะไม่ไปตัดที่ตำแหน่งเดียวกัน ซึ่งทำให้หาตำแหน่งที่แน่นอนของจุดโฟกัสไม่ได้ เนื่องจากไม่สามารถหาตำแหน่งที่คมชัดตัดแสงจากทุกโซนหมดพร้อมกันได้ ตัวอย่างเช่น ในกรณีที่เลนส์มีความคลาดทรงกลมแบบแก้อัด ซึ่งมีระยะโฟกัสของลำแสงจากโซนนอกสั้นกว่าโซนใน



ภาพ 4-21 แสดงการทดสอบโดยวิธีของฟูโกลท์สำหรับเลนส์ที่มีความคลาดทรงกลมแบบแก้อัด

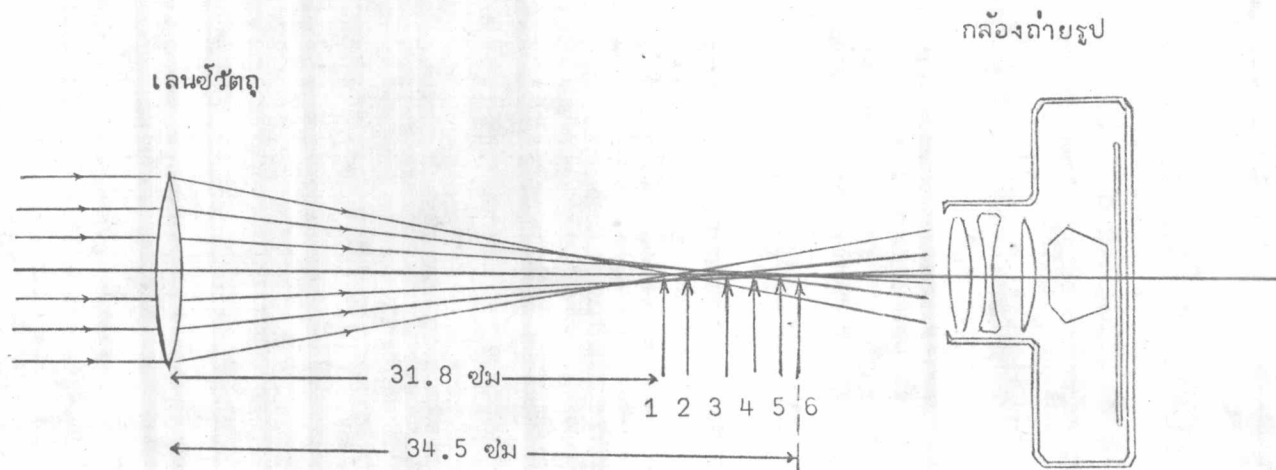
เมื่อใบมีดอยู่ที่ตำแหน่ง A ซึ่งเป็นช่วงภายในโฟกัสของลำแสงจากทุกโซน ภาพดวงสว่างที่เห็นจะมีทิศทางด้านซ้ายเข้ามา แต่ถ้าใบมีดอยู่ที่ตำแหน่ง C ซึ่งเป็นช่วงภายนอกโฟกัสของลำแสงจากทุกโซน ภาพดวงสว่างก็จะมีทิศทางด้านขวาเข้ามา และถ้าใบมีดอยู่ที่ตำแหน่ง B แสงจากโซนนอก จะถูกบังในช่วงภายนอกโฟกัส ทำให้ขอบของดวงสว่างมีทิศทางด้านขวา ขณะที่แสงจากโซนในจะถูกบังในช่วงภายในโฟกัส ภาพของดวงสว่างด้านใน จะมีทิศทางด้านซ้าย สำหรับเลนส์ที่มีความคลาดทรงกลมแบบแก้อัด จะให้ผลที่ตรงข้ามกัน ซึ่งจะทำให้สามารถบ่งชี้ถึงคุณภาพของเลนส์ได้อย่างง่าย ๆ

ทำการทดลองโดย วางเลนส์ที่จะทดสอบรับรังสีขนานจากจุดแสง วางแท่นใบมีดไว้ระหว่างตาและเลนส์ทดสอบ ซึ่งอุปกรณ์ดังกล่าวควรจัดวางไว้บนรางที่คั่น เพื่อสะดวกในการเลื่อน และอ่านตำแหน่งของเลนส์และใบมีด เลื่อนแท่นใบมีดไปตามรางที่คั่น ทดลองใช้ใบมีดตัดลำแสงที่ตำแหน่งต่าง ๆ

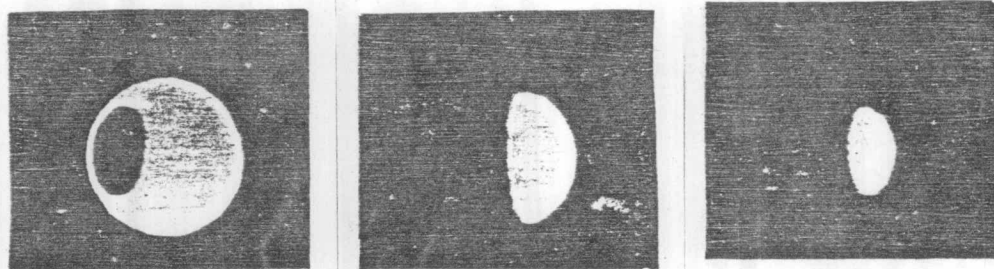
สิ่งเกิดลักษณะของดวงสว่าง เพื่อพิจารณาถึงความคลาดทรงกลมที่มีอยู่ ทำการบันทึกภาพของดวงสว่างด้วยกล้องถ่ายรูป

การหาโฟกัสของแต่ละโซน สามารถทำได้ โดยการลดขนาดของช่องรับแสงด้านหน้าของเลนส์ลงจากลักษณะทางเดินแสงของเลนส์ที่มีความคลาดทรงกลมแบบแก๊ขาด ดังภาพ 4-20 ภาพขอบของดวงสว่างนั้นได้มาจากรังสีแสงที่มาจากโซนนอกของหน้าเลนส์ (บริเวณผิวเลนส์ใกล้ขอบของช่องรับแสง) ดังนั้น จะหาตำแหน่งของจุดโฟกัส ของโซนขอบเลนส์ได้โดยใช้เครื่องมือตัดลำแสง และสังเกตทิศทางการมีดของบริเวณขอบของดวงสว่าง

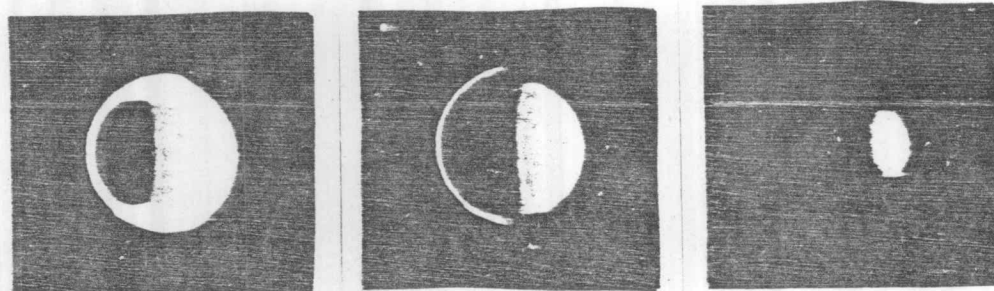
ผลของการทดลองเลนส์วัตถุ โดยวิธีคมมีด เมื่อเปิดหน้าเลนส์รับแสงเต็มที่ ทำการบันทึกภาพดวงสว่างด้วยฟิล์ม ฮักฟา ไอโซแพน (Agfa isopan) ใช้เวลารับแสง 5 นาที แล้วล้างด้วยน้ำยาดี-72 ที่อุณหภูมิ 20°C เป็นเวลานาน 5 นาที และแช่ในน้ำยาฟิกเชอร์ (fixer) นาน 5 นาที ใช้กระดาษอัดภาพ โดยฉายแสงนาน 8 วินาที แช่ในน้ำยาดี-72 ประมาณ 1 นาที แล้วแช่ในฟิกเชอร์อีก 5 นาที ผลการทดลอง แสดงไว้ในภาพ 4-23



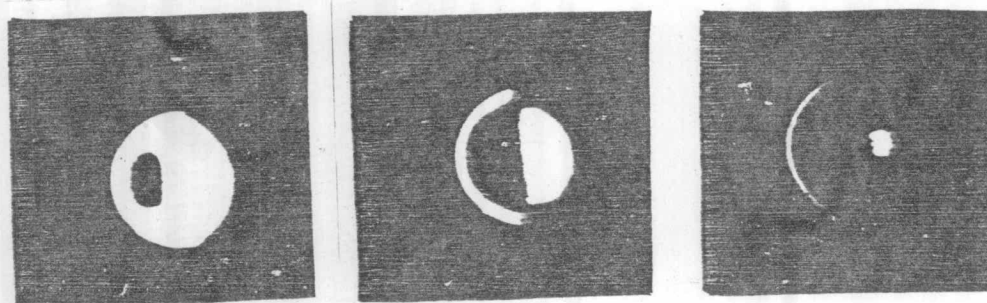
ภาพ 4-22 แสดงตำแหน่งที่ใช้คมมีดตัดทางเดินแสงในช่วง 31.8-34.5 เซนติเมตร จากหสังเลนส์เป็นจำนวน 6 ครั้ง



ตำแหน่ง 1 ระยะ 31.8 เซนติเมตร ตัดในส่วนในโพกล์ของรังสีจากทุกโซน



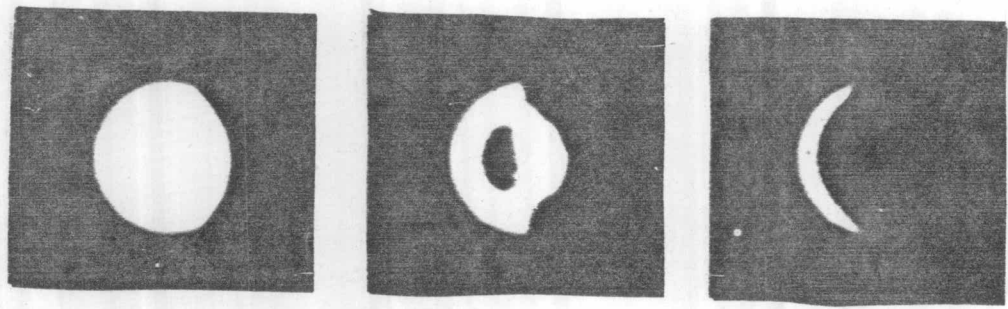
ตำแหน่ง 2 ระยะ 32.5 เซนติเมตร รังสีจากโซนในเป็นช่วงนอกโพกล์ แต่รังสีจากโซนในเป็นช่วงในโพกล์



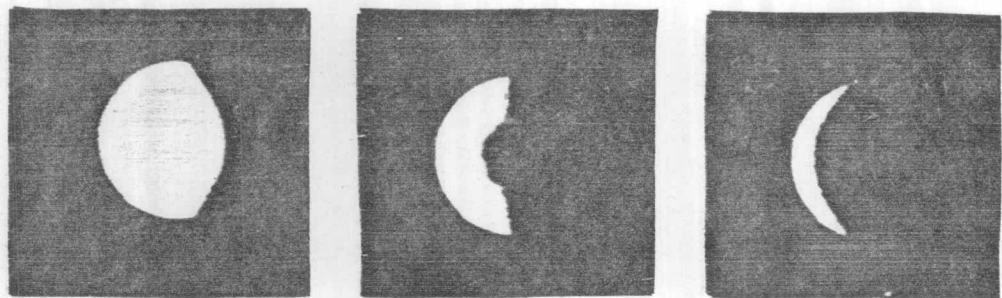
ตำแหน่ง 3 ระยะ 33.1 เซนติเมตร รังสีจากโซนในยังเป็นช่วงในโพกล์



ตำแหน่ง 4 ระยะ 33.5 เซนติเมตร รังสีจากโซนในยังเป็นช่วงในโพกล์ เช่นเดิม



ตำแหน่ง 5 ระยะ 34.0 เซนติเมตร โชนในยังคงเป็นช่วงในโพล์

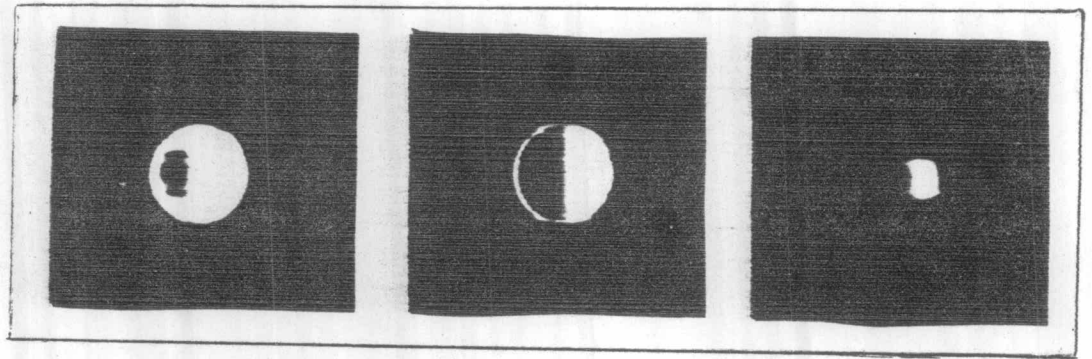


ตำแหน่ง 6 ระยะ 34.5 เซนติเมตร เป็นตำแหน่งที่พอดีแสงจากทุกโชนเป็นช่วงภายนอกโพล์

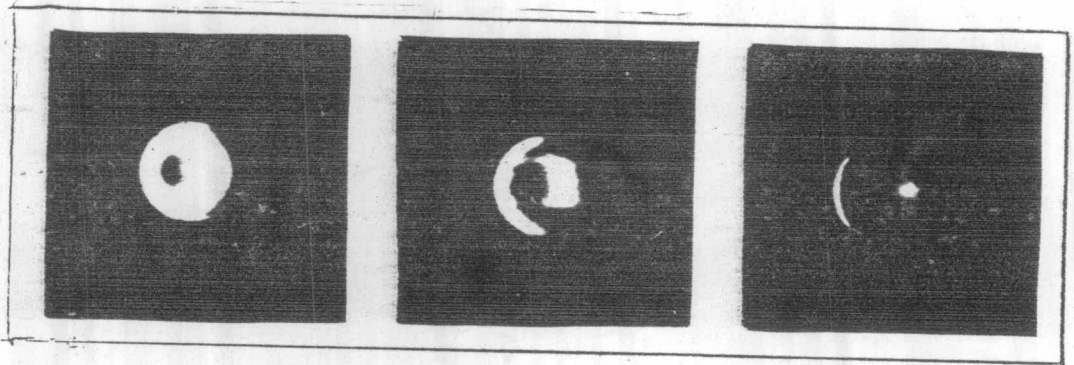
ภาพ 4-23 แสดงภาพที่บันทึกด้วยกล้องถ่ายภาพ ในการทดลองโดยวิธีคมมืดตัดลำแสง ใน
ช่วงบริเวณโพล์ของเลนส์วัตถุ 6 ตำแหน่ง

จากลักษณะภาพที่ได้ แสดงถึง เลนส์วัตถุที่สร้างมีความคลาดทรงกลมแบบแก๊ซาด และมี
ความคลาดรังสีตามแนวแกน เป็นระยะประมาณ 2.7 เซนติเมตร

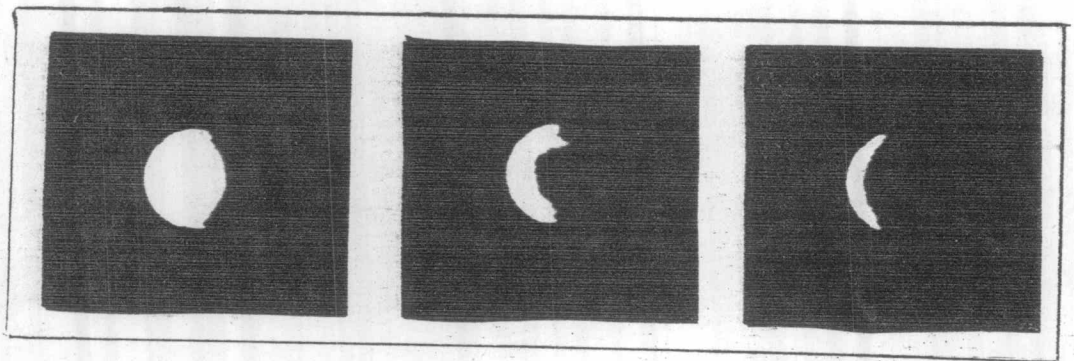
ต่อมาได้ทำการลดขนาดของช่องรับแสงลง เพื่อหาตำแหน่งโพล์ของแสงจากแต่ละโชน
ตัวอย่างของภาพถ่ายที่ได้จากการทดลอง เมื่อลดช่องรับแสงเหลือกว้างเพียง 1.5 เซนติเมตร แสดง
ไว้ในภาพ 4-24



ตำแหน่ง 1 ระยะ 33.0 เซนติเมตร คมมีดตัดในระยะภายในโฟกัสของแสงจากทุกโซน



ตำแหน่ง 2 ระยะ 34.0 เซนติเมตร โซนนอกเป็นช่วงนอกโฟกัส โซนในเป็นช่วงในโฟกัส



ตำแหน่ง 3 ระยะ 34.5 เซนติเมตร คมมีดตัดในตำแหน่งที่พอดี ช่วงนอกโฟกัสของแสงจากทุกโซน

ภาพ 4-24 แสดงภาพตรงลว้าง เมื่อทำการลดขนาดช่องรับแสงเหลือกว้าง 1.5 เซนติเมตร

จากการสังเกตทิศทางการผิดของบริเวณขอบดวง เมื่อใช้ใบมีดตัด พบว่าตำแหน่งโพกัสของโซนนอก (บริเวณ 1.5 เซนติเมตรจากแนวแกน) จะอยู่ที่ตำแหน่ง 33.1 เซนติเมตร ทำการทดลองเช่นเดียวกัน สำหรับช่องรับแสงขนาดต่าง ๆ ได้ค่าทางยาวโพกัสของแต่ละโซน ดังแสดงไว้ในตาราง 4.13 ซึ่งได้ทำการเปรียบเทียบกับค่าที่ได้จากวิธีทดลองของอาร์ทแมนด้วย

ตาราง 4.13 แสดงค่าทางยาวโพกัสของโซนต่าง ๆ ที่ได้จากวิธีของฟูโคลท์และอาร์ทแมน

h (cm)	ทางยาวโพกัส จากวิธีทดลองของฟูโคลท์ (cm)	ทางยาวโพกัส จากวิธีทดลองของอาร์ทแมน (cm)
2.00	31.8	31.7
1.75	32.6	32.4
1.50	33.1	33.2
1.25	33.6	33.5
1.00	34.0	33.8
0.75	34.2	34.2
0.50	34.4	34.3
0.25	34.5	34.5

เนื่องจากตำแหน่งดาวหรือจุดแสง อยู่ห่างจากหน้าเลนซ์ไม่มากนัก (ประมาณ 20 เท่าของทางยาวโพกัสเท่านั้น) ค่าทางยาวโพกัสที่ได้ จึงยังไม่ถูกต้อง ถ้าคิดว่าเลนซ์วัตถุเป็นเลนซ์บาง ค่าทางยาวโพกัสที่ได้ ความจริงจะเป็นระยะภาพ จากระยะวัตถุ และระยะภาพ สามารถคำนวณหาทางยาวโพกัสที่แท้จริงของเลนซ์ ได้จากสมการเกาซ์เขียน

$$\frac{1}{f} = \frac{1}{v} - \frac{1}{u}$$

u คือระยะวัตถุมีค่า -700 เซนติเมตร และ v คือระยะภาพมีค่า 34.5 เซนติเมตร

จะได้ $f = 32.9$ เซนติเมตร

2. การทดสอบเลนซ์ตา ได้แบ่งขั้นตอนการทดสอบตามลำดับ คือ

2.1 การตรวจสอบหาค่ารัศมีความโค้งโดยวิธีวงแหวนของนิวตัน

ในการตรวจสอบ ได้ทำการทดสอบผิวโค้งของเลนซ์เดี่ยวแต่ละชิ้น เช่นเดียวกับเลนซ์วัตถุ เนื่องจากเลนซ์เดี่ยวที่สร้างขึ้นเป็นแบบเลนซ์นูนแกมราบ ซึ่งมีขนาดเล็กมาก การวัดหาค่าความโค้งของผิวราบที่แน่นอน สดทำได้ไม่สะดวกนัก ได้ทำการตรวจสอบความโค้งของผิวราบ โดยพิจารณาจากรั้วของการแทรกสอด เมื่อวางสัมผัสกับแผ่นทดสอบราบ (flat test plate) พบว่าบริเวณตรงกลางผิวจะเป็นผิวราบลึกลง แต่บริเวณขอบของผิวเลนซ์จะลาดลง มีลักษณะเป็นผิวโค้งนูนเล็กน้อยที่ขอบวง ดังนั้นสำหรับผิวราบของเลนซ์ทั้งสองจะถือว่ามีความโค้งเป็นศูนย์

ผลของการทดสอบ สำหรับผิวโค้ง คือ

เลนซ์ชิ้นที่หนึ่ง	$c_1 = .3505$	ต่อเซนติเมตร
	$R_1 = 2.853$	เซนติเมตร
	$c_2 = 0$	
เลนซ์ชิ้นที่สอง	$c_1 = .3551$	ต่อเซนติเมตร
	$R_1 = 2.816$	เซนติเมตร
	$c_2 = 0$	

2.2 การตรวจสอบหาทางยาวโฟกัส

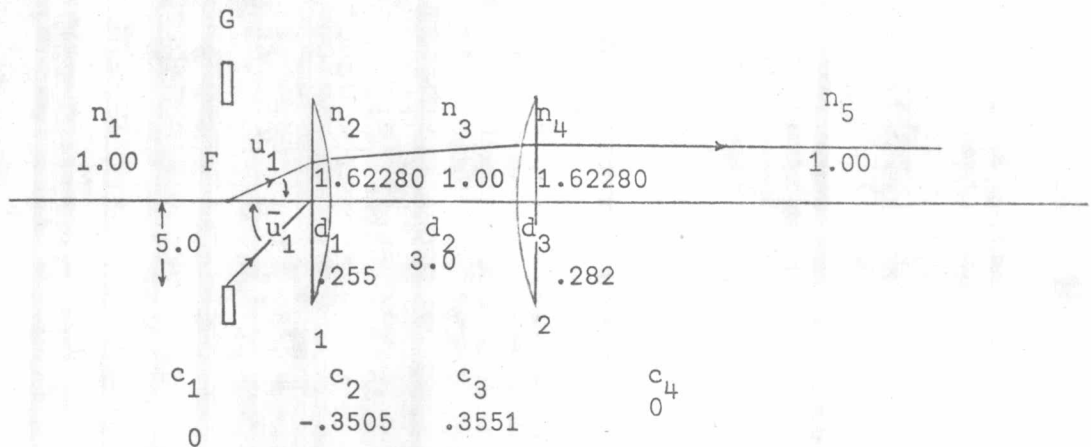
เมื่อพิจารณา เลขชี้กำลัง เป็นเลขชี้บาง จากค่ารัศมีความโค้งดังกล่าว ได้ค่าทางยาวโฟกัสของเลนซ์แต่ละชิ้น จากสมการของเลนซ์บาง คือ

เลนซ์ชิ้นที่หนึ่ง	$K_1 = .2183$	ต่อเซนติเมตร
	$f_1 = 4.581$	เซนติเมตร
และ เลนซ์ชิ้นที่สอง	$K_2 = .2212$	ต่อเซนติเมตร
	$f_2 = 4.522$	เซนติเมตร

จากทางยาวโฟกัสของเลนซ์ทั้งสอง เมื่อนำมาประกอบเป็นเลนซ์ตา ได้จัดวางเลนซ์ทั้งสองไว้ห่างกันเป็นระยะ 3.0 เซนติเมตร เพื่อประกอบเป็นระบบเลนซ์ตา

2.3 การตรวจสอบความคลาดของระบบเลนซ์ตาโดยการแกะรอยรังสี

ได้ทำการตรวจสอบ ในทำนองเดียวกับการตรวจสอบของเลนซ์ที่ออกแบบ โดยเริ่มต้นหาตำแหน่งจุดโฟกัสของระบบเสียก่อน โดยกลับทิศทางของเลนซ์ตา ได้ตำแหน่งจุดโฟกัสอยู่ห่างจากผิวหน้าเลนซ์เป็นระยะ .985191 เซนติเมตร แล้วจึงดำเนินการแกะรอยรังสีเพื่อหาความคลาด ซึ่งข้อมูลของการแกะรอยรังสีแสดงไว้ในตาราง 4-14



ภาพ 4-25 แสดงทางเดินแสงในการแกะรอยรังสีเพื่อหาความคลาดของเลนซ์ตาที่สร้างขึ้น

ตาราง 4.14 แสดงข้อมูลการแก้ออยริงสี่สำหรับระบบเลขยี่ตี่สี่ร่างขึ้น

$$u_1 = -.0620439$$

$$\bar{u}_1 = -.507516$$

$$h_1 = .0611211$$

$$\bar{h}_1 = 0$$

d_1	n_1	c_1	a_1	A_1	$u'_1 = u_2$	h_1	u_1/n_1	$\Delta_1(u/n)$	$A_1 h_1$	S_{I_1}	
d_2	n_2	c_2	a_2	A_2	$u'_2 = u_3$	h_2	u_2/n_2	$\Delta_2(u/n)$	$A_2 h_2$	S_{I_2}	
d_3	n_3	c_3	a_3	A_3	$u'_3 = u_4$	h_3	u_3/n_3	$\Delta_3(u/n)$	$A_3 h_3$	S_{I_3}	
		c_4	a_4	A_4	$u'_4 = u_5$	h_4	u_4/n_4	$\Delta_4(u/n)$	$A_4 h_4$	S_{I_4}	
						(cm)					(cm)
.255	1.62280	0	0	.0620439	-.0382326	.0611211	-.0620439	.0384879	.00379219	.905552x10 ⁻⁵	
3.00	1.00	-.3505	-.0248401	.0217334	-.0465735	.0708704	-.0235560	-.0230175	.00154025	.0770508x10 ⁻⁵	
.282	1.62280	.3551	.0747808	.121354	0	.210591	-.0465735	.0465735	.0255561	14.4440x10 ⁻⁵	
		0	0	0	0	.210591	0	0	0	0	
			$\alpha = hc$	$A = n(\alpha - u)$	$u' = \alpha - \frac{A}{n}$	$h_{+1} = h - du'$				$S_I = \Sigma A^2 h \Delta \left(\frac{u}{n}\right)$ = 15.3496x10 ⁻⁵	
\bar{a}_1	\bar{n}_1	$\bar{u}'_1 = \bar{u}_2$	\bar{h}_1	S_{II_1}	δn_1	$(\delta n/n)_2$	$\Delta_1(\delta n/n)$	C_{L_1}	C_{T_1}	$\delta W_{40} = \frac{1}{8} S_I$	
\bar{a}_2	\bar{n}_2	$\bar{u}'_2 = \bar{u}_3$	\bar{h}_2	S_{II_2}	δn_2	$(\delta n/n)_4$	$\Delta_2(\delta n/n)$	C_{L_2}	C_{T_2}	$\delta W_{31} = \frac{1}{2} S_{II}$	
\bar{a}_3	\bar{n}_3	$\bar{u}'_3 = \bar{u}_4$	\bar{h}_3	S_{II_3}	δn_3		$\Delta_3(\delta n/n)$	C_{L_3}	C_{T_3}	$\delta W_{20} = \frac{1}{2} C_L$	
\bar{a}_4	\bar{n}_4	$\bar{u}'_4 = \bar{u}_5$	\bar{h}_4	S_{II_4}	δn_4		$\Delta_4(\delta n/n)$	C_{L_4}	C_{T_4}	$\delta W_{11} = C_T$	
						(cm)					(cm)
0	.507516	-.312741	0	7.40737x10 ⁻⁵	0		.00674482	2.55776x10 ⁻⁵	20.9224x10 ⁻⁵	1.91869x10 ⁻⁵	
-.0279520	.462156	-.490108	.0797490	-1.63847x10 ⁻⁵	.0109455	.00674482	-.00674482	-1.03887x10 ⁻⁵	-22.0914x10 ⁻⁵	64.8090x10 ⁻⁵	
.550430	1.04054	-.0907690	1.55007	123.849x10 ⁻⁵	0	.00674482	.00674482	17.2371x10 ⁻²	147.798x10 ⁻⁵	9.37800x10 ⁻⁵	
0	.147300	-.147300	1.57567	0	.0109455		-.00674482	0	-20.9225x10 ⁻⁵	125.707x10 ⁻⁵	
					0						
$\bar{a} = \bar{h}c$	$\bar{n} = n(\bar{a} - u)$	$\bar{u}' = \bar{a} - \frac{\bar{n}}{n}$	$\bar{h}_{+1} = \bar{h} - d\bar{u}'$	$S_{II} = \Sigma \bar{n} \bar{h} \Delta \left(\frac{\bar{u}}{n}\right)$ = 129.618x10 ⁻⁵				$C_L = \Sigma A h \Delta \left(\frac{\delta n}{n}\right)$ = 18.7540x10 ⁻⁵	$C_T = \Sigma \bar{n} h \Delta \left(\frac{\delta n}{n}\right)$ = 125.707x10 ⁻⁵		

ผลของการตรวจสอบ ได้ค่าสัมประสิทธิ์ความคลาดต่าง ๆ คือ

$${}_0W_{40} = 1.91869 \times 10^{-5} \quad \text{เซนติเมตร}$$

$${}_1W_{31} = 64.8090 \times 10^{-5} \quad \text{เซนติเมตร}$$

$$\delta W_{20} = 9.37800 \times 10^{-5} \quad \text{เซนติเมตร}$$

$$\delta W_{11} = 125.707 \times 10^{-5} \quad \text{เซนติเมตร}$$

เปรียบเทียบกับค่าสัมประสิทธิ์ความคลาดของเลขชี้ที่ออกแบบ ซึ่งมี ${}_0W_{40} = 1.86232 \times 10^{-5}$
 ${}_1W_{31} = 66.6566 \times 10^{-5}$, $\delta W_{20} = 8.94450 \times 10^{-5}$ และ $\delta W_{11} = 126.107 \times 10^{-5}$
 เซนติเมตร ได้ค่าความคลาดที่แตกต่างจากค่าของเลขชี้ที่ออกแบบเพียงเล็กน้อยเท่านั้น

2.4 การทดสอบด้วยดาว

ในการทดสอบ มีจุดมุ่งหมายเพื่อพิจารณาถึงลักษณะความคลาดทรงกลม และความคลาดตรงคี่ที่มีอยู่ในระบบเลนซ์ตา โดยนำเลนซ์ตาที่สร้างขึ้นมารับแสงขนานจากดาวหรือจุดแสง โดยต้องกลับทิศทางของระบบเลนซ์ตา เพื่อให้ถูกต้องตามลักษณะการใช้งาน ทำการสังเกตจุดภาพที่ได้จากการหักเหผ่านเลนซ์ตา เนื่องจากเลนซ์ตาที่สร้างมีขนาดเล็ก และทางยาวโฟกัสสั้นมาก จึงไม่สะดวกต่อการบันทึกภาพ เพื่อแสดงถึงผลของการทดสอบ

ผลของการทดสอบ โดยใช้เลนซ์ตาขึ้นอันสังเกตจุดภาพที่บริเวณภายในโฟกัส ที่ตำแหน่งโฟกัส และที่บริเวณภายนอกโฟกัส พอสรุปได้ว่า เลนซ์ตาที่สร้างขึ้น มีความคลาดทรงกลมแบบแก๊ซขาด และมีความคลาดตรงคี่อยู่อย่างเห็นได้ชัด



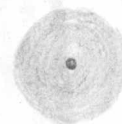
วงสว่างที่ขอบมีความเข้มสูง และมีรัวของแสงสีต่าง ๆ ประกอบอยู่

(a)



จุดแสงสีเขียว และแดง

(b)



จุดแสงสีขาวตรงกลางมีความเข้มสูง และแตกพร่า เล็กน้อย

(c)

ภาพ 4-26 แสดงลักษณะของจุดภาพที่สังเกตได้จากการทดสอบด้วยดาว - สำหรับเลนซ์ตาที่สร้างขึ้น ภาพภายในจุดโฟกัส (a) ภาพที่ตำแหน่งโฟกัส (b) และที่บริเวณนอกจุดโฟกัส (c)

2.5 การตรวจสอบค่ากำลังขยายของ เลนซ์ตา จากค่ากำลังของ เลนซ์เดี่ยวทั้งสอง

และระยะห่างที่ชัดเจนเลนซ์ไว้ สามารถหาค่ากำลังรวมของระบบเลนซ์ตา ได้จาก

$$K = K_1 + K_2 \approx dK_1K_2$$

โดยที่ $K_1 = .2183 \text{ cm}^{-1}$, $K_2 = .2212 \text{ cm}^{-1}$ และ $d = 3.0 \text{ cm}$

ดังนั้นจะได้ $K = 0.295 \text{ cm}^{-1}$

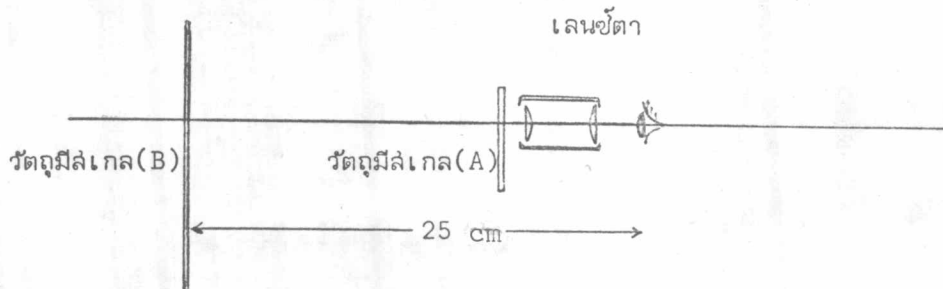
ค่าทางยาวโฟกัสยังผลของระบบเลนส์ตา (fe) จะมีค่า 3.39 เซนติเมตร

ดังนั้น ถ้าพิจารณาว่า เลนส์เดี่ยวทั้งสองเป็นเลนส์บาง มีทางยาวโฟกัสยังผล 3.39 เซนติเมตร กำลังขยายของเลนส์ตาหาได้จาก

$$m = \frac{25}{f_e}$$

จะได้ $m = 7.37$

สำหรับการตรวจสอบ วัดหาค่ากำลังขยายของระบบเลนส์ตา ได้ทำการวัดหาค่าโดยใช้วิธี ตรวจกำลังขยายโดยตรง⁽⁴⁾ (direct determination for magnifying power) ซึ่งทำได้โดยใช้เลนส์ตาที่จะทดสอบ สังเกตภาพวัตถุมีสเกล (A) ให้ได้ภาพเสมือนที่ระยะ 25 เซนติเมตรจากตา ที่ตำแหน่งดังกล่าว วางวัตถุมีสเกล (B) ไว้ ขณะที่ตาข้างหนึ่งมองผ่านเลนส์ตา จะเห็นภาพสเกลของวัตถุ A ปรากฏที่ตำแหน่งเดียวกับวัตถุ B ใช้ตาเปล่าอีกข้างมองสเกลของวัตถุ B ทำการเปรียบเทียบขนาดของช่องสเกลจากตาทั้งสอง อัตราส่วนระหว่างขนาดของช่องสเกลที่มองผ่านเลนส์ตากับที่ใช้ตาเปล่ามอง ก็คือ กำลังขยายของเลนส์ตา



ภาพ 4-27 แสดงการวัดวางอุปกรณ์เพื่อตรวจสอบค่ากำลังขยายของเลนส์ตาโดยการวัดโดยตรง

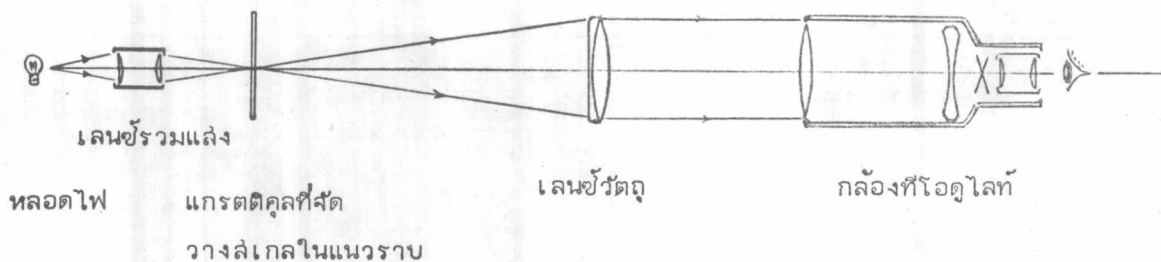
ผลของการทดลอง จากการเปรียบเทียบสเกล เลขชี้กำลังสร้างขึ้นมีค่ากำลังขยาย 8.2 เท่า

3. การทดลองการใช้งานของออตคอลลิเมเตอร์

ออตคอลลิเมเตอร์ เป็นเครื่องมือที่ใช้ในการวัดมุมปรีซึม ดังได้กล่าวไว้แล้ว โดยทั่ว ๆ ไป ปรีซึมที่พบและใช้กันมาก คือ ปรีซึมมุมฉาก และปรีซึมด้านเท่า สิ่งได้นำปรีซึมทั้งสองแบบ มาทำการทดลองวัดหาค่ามุม โดยใช้ ออตคอลลิเมเตอร์ ที่ได้สร้างไว้ แต่ก่อนจะทำการทดลอง จำเป็นต้องทราบค่าที่แน่นอน ของมุมที่รองรับต่อการเปียงเบน 1 ช่อง ของสเกลบน แกรตติคูลเสียก่อน

3.1 การหาค่าของมุมเปียงเบนบนสเกลของแกรตติคูล โดยใช้กล้องทริโอดูไลท์

จากค่าทางยาวโฟกัส ประมาณ 33 เซนติเมตร และค่าความสูง 1 ช่อง บนสเกลของแกรตติคูล เท่ากับ $\frac{1}{100}$ เซนติเมตร สามารถคำนวณได้ว่า มุมเปียงเบนต่อ 1 ช่องบนสเกล จะมีค่าเท่ากับ 1.04 ลิปดา แต่ค่าที่ได้ยังไม่ละเอียด และแน่นอนนัก ค่ามุมที่ถูกต้องสามารถหาได้โดยใช้กล้องทริโอดูไลท์ (Theodolite telescope) มาทำการวัด โดยส่ววงเครื่องมือดังภาพ 4-28



ภาพ 4-28 แสดงการติดตั้งเครื่องมือ เพื่อทำการวัดมุมเปียงเบน

กล้องทริโอดูไลท์ เป็นกล้องสำหรับวัดมุมในแนวตั้ง (azimuth angle) และมุมในแนวราบ (horizontal angle) ได้อย่างละเอียด เมื่อติดตั้งดังภาพ ปรับโฟกัสของกล้องให้อยู่ที่ระยะ

อนันต์ จะเห็นภาพของสเกลบนแกรตติคูลอย่างชัดเจน ทำการวัดมุมที่รองรับระหว่างช่อง โดยอ่านจากสเกลในแนวราบของกล้องที่โอดูไลท์ ข้อมูลของการวัด แสดงไว้ในตาราง 4.15

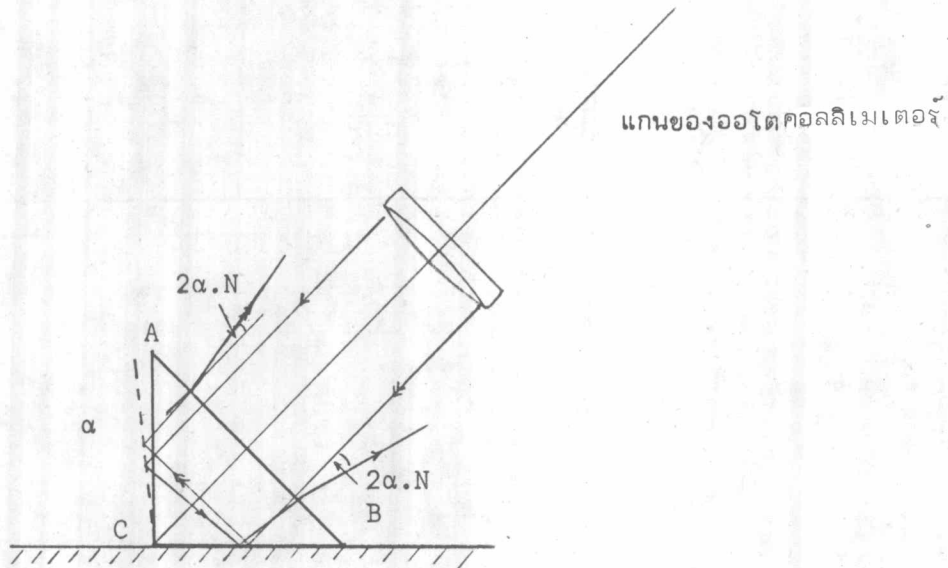
ตาราง 4.15 แสดงข้อมูล การวัดมุมเฉียงเบนโดยกล้องที่โอดูไลท์

สเกลที่	ตำแหน่งมุม	จำนวนช่อง	ค่ามุม		ค่ามุมเฉียงเบน/ช่อง
20	267° 31' 10"	-	-	-	-
25	267° 36' 10"	5	0° 5' 0"	5.00'	1.000'
30	267° 41' 20"	10	0° 10' 10"	10.17'	1.017'
40	267° 51' 30"	20	0° 20' 20"	20.53'	1.017'
50	268° 1' 50"	30	0° 30' 40"	30.67'	1.022'
60	268° 12' 10"	40	0° 41' 0"	41.00'	1.025'
70	268° 22' 20"	50	0° 51' 20"	51.33'	1.026'
					1.02'

ค่ามุมเฉียงเบนของ ออโตคอลลิเมเตอร์ ที่สร้างขึ้น คือ 1.02 ลิปดา/ช่อง

3.2 หลักการใช้งานของ ออโตคอลลิเมเตอร์

3.2.1 ออโตคอลลิเมเตอร์ กับปริซึมมุมฉาก เริ่มต้นด้วยการวัดค่ามุมฉากของปริซึมเสียก่อน ทำได้โดยการวางปริซึมให้ด้านตรงข้ามมุมฉากรับแสงขนานจากออโตคอลลิเมเตอร์ ดังภาพ 4-29



ภาพ 4-29 แสดงทางเดินแสง เมื่อใช้ ออตคอลลิเมเตอร์ วัดค่ามุมฉาก (C) ของปริซึม

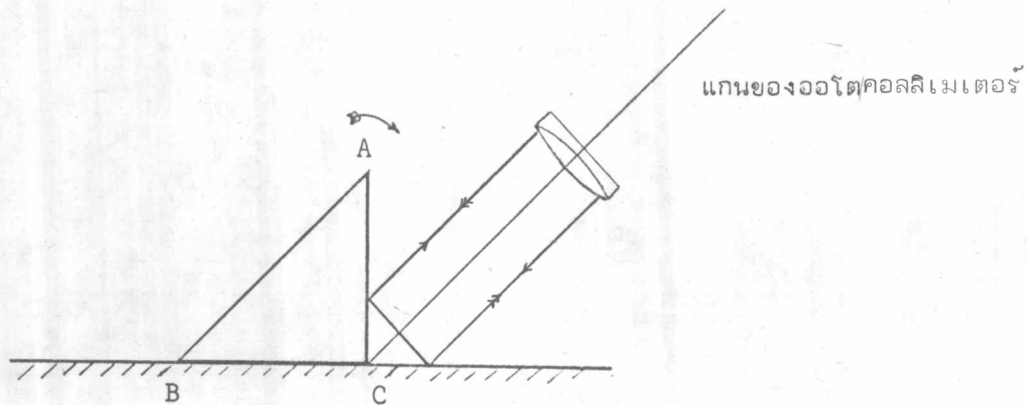
จากลักษณะทางเดินของแสง ดังภาพ 4-29 จะทำให้ปรากฏภาพของขีดคู่ขนาน 2 ภาพ บนแกรตติคูลของ ออตคอลลิเมเตอร์ ถ้ามุม C ของปริซึมมีค่าแตกต่างไปจากมุมฉาก ด้วยค่ามุม α มุมเบี่ยงเบน (D) ระหว่างภาพของขีดคู่ขนานทั้งสอง จะวัดได้จากสเกลของแกรตติคูล ค่ามุม α ที่ผิดไปจะหาได้จาก

$$D = 4\alpha \cdot N$$

$$\alpha = \frac{D}{4N}$$

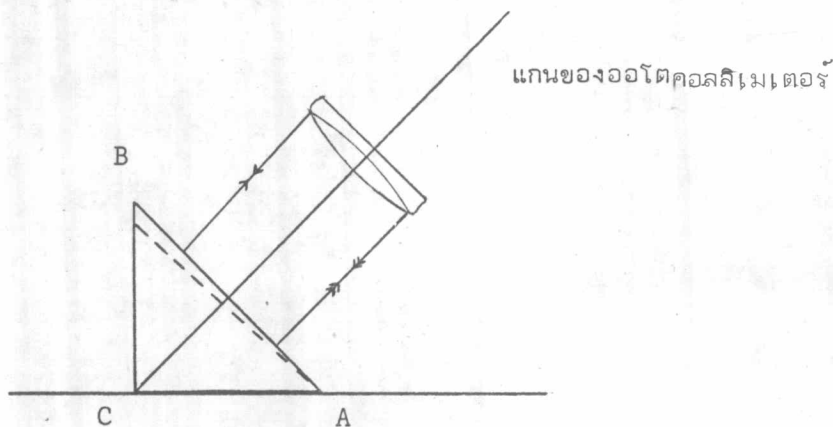
โดยที่ N คือ ดรรชนีหักเหของปริซึม

สำหรับปริซึมมุมฉาก ที่มีค่ามุม C เป็น $90^\circ + \alpha$ หรือ $90^\circ - \alpha$ ก็ตามจะให้ค่าการเบี่ยงเบนระหว่างภาพขีดคู่ขนานทั้งสอง ด้วยมุม $4\alpha \cdot N$ เช่นเดียวกัน ทำการตรวจสอบว่ามุมฉากนั้นมีค่ามากกว่าหรือน้อยกว่า 90° ได้ โดยวัด ออตคอลลิเมเตอร์ ดังภาพ 4-30



ภาพ 4-30 แสดงการตรวจสอบค่าที่แน่นอนสำหรับมุมฉากของปริซึม

เมื่อสังเกตบนแกรตติคูล จะเห็นภาพชัดคู่กัน 2 ภาพเช่นกัน โดยมีมุมเชิงเบนไป 4α หากการตรวจสอบว่ามุมของปริซึมมากกว่าหรือน้อยกว่า 90° ได้ โดยการเอียงปริซึมตามแนวลูกศร ถ้าภาพทั้งสองเคลื่อนเข้าหากัน แสดงว่ามุม C ของปริซึมนั้นน้อยกว่า 90° แต่ถ้าภาพทั้งสองแยกจากกันมากขึ้น มุม C ก็จะมีมากกว่า 90° ทำให้สามารถหาค่าที่แน่นอนของมุม C ได้ สำหรับการวัดค่าของมุมที่ฐานทั้งสองของปริซึม (มุม A และ B) ทำได้โดยใช้การเปรียบเทียบมุมเพื่อหาค่ามุมที่แตกต่างกันระหว่างมุมทั้งสอง ซึ่งทำได้โดยสัดเครื่องมือดังภาพ 4-31



ภาพ 4-31 แสดงการใช้ ออตคอลลิเมเตอร์ เปรียบเทียบมุม A กับมุม B ของปริซึม

รังสีแสงจากคอลลิเมเตอร์ จะสะท้อนที่ผิว AB แล้ว ทำให้เกิดภาพฮิตคู่ขนานขึ้นบนแกรตติคูล และเพื่อป้องกันการรบกวนของแสงที่จะสะท้อนจากผิว BC หรือ AC ควรทาวาล์สลิทที่ผิวทั้งสอง จะทำให้ปรากฏภาพของฮิตคู่ขนานที่ได้จากการสะท้อนที่ผิว AB เท่านั้น บันทึกตำแหน่งของภาพฮิตคู่ขนาน ทำการสัดวางปริซึมใหม่ ให้มุม B แทนที่มุม A จะเห็นภาพฮิตคู่ขนานอีกครั้ง ถ้ามุม A และ B มีค่าแตกต่างกันด้วยขนาด α ภาพฮิตคู่ขนานของมุม A และ B จะเบี่ยงเบนจากกันด้วยมุม 2α สามารถหาค่ามุม A และ B ได้จากสมการ

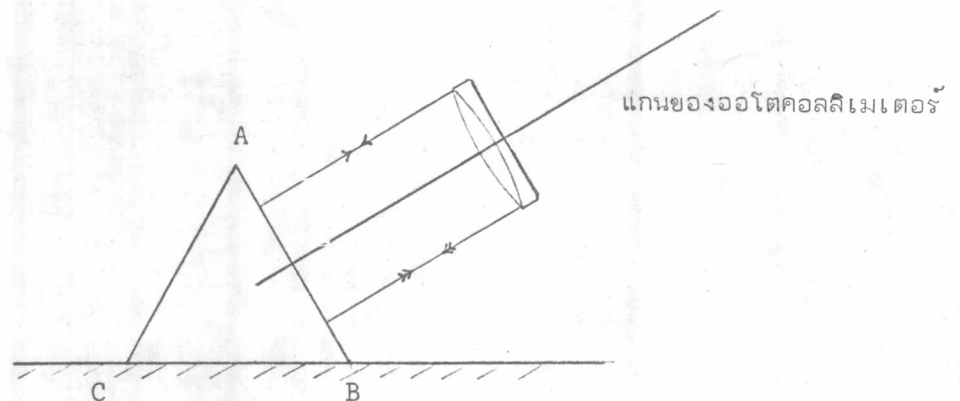
$$A - B = \alpha$$

$$A + B = 180^\circ - C$$

ค่ามุม C สามารถทำการวัดหาค่าได้ตามวิธีดังกล่าวมาแล้ว ดังนั้น จะสามารถหาค่าของมุม A และ B อย่างละเอียด ตามต้องการ

3.2.2 ออโตคอลลิเมเตอร์ กับปริซึมด้านเท่า

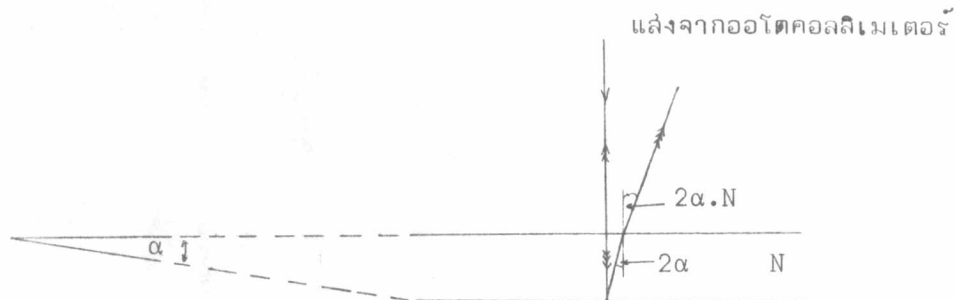
มุมทั้งสามของปริซึมด้านเท่า จะมีค่าที่ใกล้เคียงกัน จึงทำการวัดมุมทั้งสามได้ โดยใช้การเปรียบเทียบมุม เพื่อหาค่าผลต่างระหว่างมุมคู่ใด ๆ ของมุมทั้งสาม ในที่นี้จะใช้มุม B เป็นมุมเปรียบเทียบ โดยสัดเครื่องมือดังภาพ 4-32



ภาพ 4-32 แสดงการใช้ ออโตคอลลิเมเตอร์ ในการเปรียบเทียบหาค่ามุมทั้งสามของปริซึมด้านเท่า

ทำการบันทึกตำแหน่งของภาพขีดศูนย์เมื่อวางเครื่องมือตงภาพ 4-32 ต่อจากนั้น จึงเปลี่ยนเอามุม A และ C ของปริซึมมาวางแทนมุม B พร้อมทั้งบันทึกตำแหน่งของภาพเพื่อหาค่าการเบี่ยงเบนตามลำดับ จากนี้ สามารถหาค่าผลต่างระหว่างมุม A กับ B และ A กับ C ได้ และจากสมการ $A + B + C = 180^\circ$ ทำให้สามารถหาค่าที่แน่นอนของมุมทั้งสามได้

3.3.3 ออโตคอลลิเมเตอร์กับผิวขนาน นอกจากจะใช้ในการวัดค่ามุมของปริซึมแล้ว ออโตคอลลิเมเตอร์ ยังสามารถใช้ทดสอบความขนาน (parallelism) ของแผ่นขนานได้อย่างดีอีกด้วย ลักษณะทางเดินแสง สำหรับการทดสอบความขนานของแผ่นขนาน แสดงได้ดังภาพ 4-33



ภาพ 4-33 แสดงทางเดินแสงเมื่อใช้ ออโตคอลลิเมเตอร์ ตรวจสอบความขนาน

จากลักษณะทางเดินของแสง ดังภาพ 4-33 จะทำให้เกิด ภาพขีดศูนย์ขึ้น 2 ภาพ อันเป็นผลมาจากการสะท้อนจากผิวทั้งสอง ถ้าผิวทั้งสองทำมุมกันด้วยค่ามุม α จะทำให้ภาพขีดศูนย์เบี่ยงเบนจากกันด้วยมุม $2 \cdot \alpha \cdot N$ โดยที่ N คือระยะย่นหักเหของแผ่นขนาน ทำให้สามารถตรวจสอบความขนานของผิวทั้งสองได้

3.3 การใช้งานของ ออโตคอลลิเมเตอร์

ในการตรวจสอบการใช้งาน ได้นำปริซึมมุมฉาก และปริซึมด้านเท่าภายในห้องปฏิบัติการที่ค่าค่าสี่ตัว มาทำการทดสอบวัดมุม โดยใช้ ออโตคอลลิเมเตอร์ ที่สร้างขึ้น ซึ่ง ได้ข้อมูลของการตรวจสอบ คือ

ปริซึมมุมฉาก มีค่าครึ่งหนึ่งหักเห 1.537 ทำการวัดมุมฉาก (C) ได้การเบี่ยงเบนของภาพขีดคู่ขนานเป็น 5 ช่องสเกล

$$\begin{aligned} \text{ดังนั้น มุมบ่่ายเบน (D)} &= 5 \times 1.02 && \text{ลบตา} \\ &= 5.10 && \text{ลบตา} \\ \alpha &= \frac{D}{4N} \\ &= 0.83 \end{aligned}$$



จากการตรวจสอบทิศทาง พบว่า ค่ามุม C ต้องน้อยกว่า 90°

$$\text{ดังนั้น จะได้ } C = 89^\circ 59'$$

ต่อมาทำการวัดมุมที่ฐาน โดยหาค่าการบ่่ายเบน เมื่อเปรียบเทียบการสะท้อนที่ผิว AB ได้ระยะการบ่่ายเบน มีค่า 6 ช่องสเกล

$$\begin{aligned} D &= 6.12 && \text{ลบตา} \\ \alpha &= 3.06 && \text{ลบตา} \end{aligned}$$

ตรวจสอบทิศทางของการบ่่ายเบนพบว่า $B > A$

$$\begin{aligned} B - A &= 3.06' \\ \text{และ } B + A &= 90^\circ - 0.83' \\ B &= 45^\circ 2' \\ A &= 44^\circ 59' \end{aligned}$$

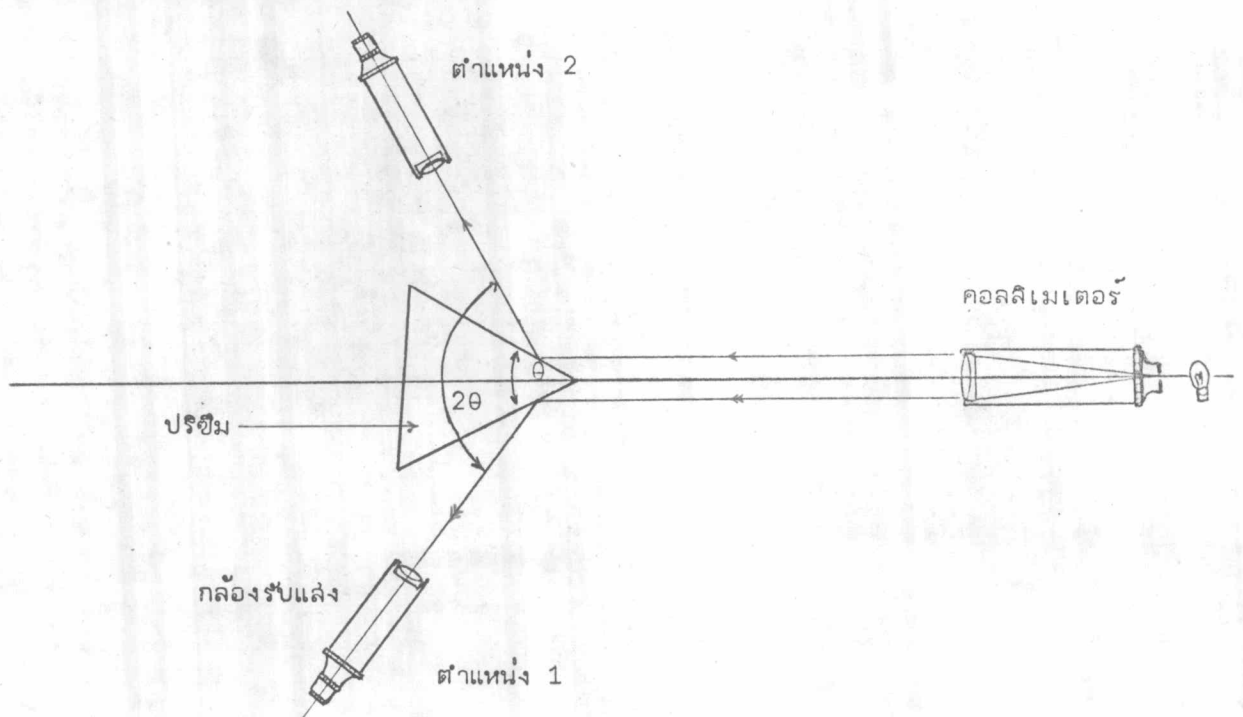
ปริซึมด้านเท่า เมื่อเปรียบเทียบระหว่างมุม B กับ C จะได้ค่าเบี่ยงเบนเป็น 1.5 ช่อง ซึ่งหมายถึงค่ามุมเบี่ยงเบนเป็น 1.53 ลบตา และจากการตรวจสอบทิศทางของการเบี่ยงเบนก็จะได้

$$B - C = 0.77'$$

เทียบมุม A กับ C ได้ค่าการเบี่ยงเบน 1 ช่อง หมายถึงค่ามุม 1.02 ลิบดา และพบว่า $A > C$ ดังนั้น

$$\begin{aligned}
 A - C &= .51' \\
 \text{แต่ } A + B + C &= 180^\circ \\
 A &= 60^\circ 0' \\
 B &= 60^\circ 0' \\
 C &= 60^\circ 0'
 \end{aligned}$$

ได้ทำการตรวจสอบมุมของปริซึมที่ใช้ทดสอบ ด้วยสเปกโตรมิเตอร์ โดยอาศัยหลักการสะท้อนแสง ดังภาพ 4-34



ภาพ 4-34 แสดงการวัดมุมยอดของปริซึมโดยใช้สเปกโตรมิเตอร์

ข้อมูลของการทดสอบวัดมุมโดยใช้ไลเปคโตรมิเตอร์ของปริซึมมุมฉาก และปริซึมด้านเท่า แสดงไว้ในตาราง 4.16 และ 4.17 ตามลำดับ

ตาราง 4.16 แสดงผลการทดสอบวัดค่ามุมของปริซึมมุมฉากโดยใช้ไลเปคโตรมิเตอร์

มุม	ตำแหน่งมุม 1	ตำแหน่งมุม 2	มุมสะท้อน (2θ)	ค่ามุม (θ)
A	71° 20'	161° 19'	89° 59'	45° 0'
B	67° 29'	157° 34'	90° 5'	45° 3'
C	36° 34'	216° 25'	179° 55'	89° 58'

ตาราง 4.17 แสดงผลการทดสอบวัดค่ามุมของปริซึมด้านเท่าโดยใช้ไลเปคโตรมิเตอร์

มุม	ตำแหน่งมุม 1	ตำแหน่งมุม 2	มุมสะท้อน (2θ)	ค่ามุม (θ)
A	53° 22'	173° 22'	120° 0'	60° 0'
B	67° 29'	187° 30'	120° 1'	60° 1'
C	49° 18'	169° 15'	119° 57'	59° 59'

การเปรียบเทียบค่าของมุมที่ได้จากการตรวจสอบทั้งสองวิธีแสดงไว้ในตาราง 4.18

และ 4.19

ตาราง 4.18 แสดงการเปรียบเทียบค่ามุมของปริซึมมุมฉากจากการตรวจสอบทั้งสองวิธี

มุม	ค่าของมุม		ค่าของมุม	
	โดยใช้ ออโตคอลลิเมเตอร์		โดยใช้สเปคโตรมิเตอร์	
A	44°	59'	45°	0'
B	45°	2'	45°	3'
C	89°	59'	89°	58'

ตาราง 4.19 แสดงการเปรียบเทียบค่ามุมของปริซึมด้านเท่าจากการตรวจสอบทั้งสองวิธี

มุม	ค่าของมุม		ค่าของมุม	
	โดยใช้ ออโตคอลลิเมเตอร์		โดยใช้สเปคโตรมิเตอร์	
A	60°	0'	60°	0'
B	60°	0'	60°	1'
C	60°	0'	59°	59'

จากการเปรียบเทียบค่ามุมที่ทำการวัดค่าโดยใช้เครื่องมือทั้งสอง จะให้ผลของการตรวจสอบ มีค่าใกล้เคียงกัน และถูกต้องพอสมควร

การทดสอบแผ่นขนาน ได้ทำการตรวจสอบ แผ่นทดสอบขนาน (parallel test plate) และแผ่นกระจกใสตัวอย่าง ได้ผลการทดสอบคือ

แผ่นทดสอบ พบว่า ภาพของขีดคู่ขนานที่สะท้อนจากผิวทั้งสองซ้อนกันพอดี แสดงว่าทั้งสองด้านของแผ่นทดสอบขนานกัน

กระจกใสตัวอย่าง พบว่า บริเวณต่าง ๆ ของแผ่นกระจก ให้ระยะเบี่ยงเบนของภาพขีดคู่ขนานไม่เท่ากัน ตำแหน่งที่ให้การเบี่ยงเบนมากที่สุด มีระยะเบี่ยงเบนถึง 4 ช่อง ซึ่งหมายถึงมุมเบี่ยงเบน 4.08 ลิปดา สำหรับกระจกใสมีค่าดัชนีหักเหประมาณ 1.5 ดังนั้นบริเวณที่มีการเบี่ยงเบนมากที่สุด ผิวทั้งสองจะทำมุมกันด้วยค่า 1.36 ลิปดา

4. การทดสอบการใช้งานของไมโครสโคปโพรเจกเตอร์

ในการตรวจสอบผิวโค้ง ของไมโครสโคปโพรเจกเตอร์ ได้ใช้ตัวอย่างผิวโค้งนูนจากผิวของลูกปืนเหล็ก (steel ball) มาทำการทดลองวัดค่า เริ่มต้นโดยทำการวัดค่า เส้นผ่าศูนย์กลางของลูกกลมที่จะทดสอบ โดยใช้ไมโครมิเตอร์เสียก่อน แล้วคำนวณหาค่ารัศมีความโค้งจากเส้นผ่าศูนย์กลาง จากนั้นนำลูกกลมตัวอย่างไปติดที่แกนของไมโครมิเตอร์ของไมโครสโคปโพรเจกเตอร์ หมุนแกนเพื่อปรับตำแหน่งของลูกกลมเหล็ก ให้ได้ภาพของขีดกากบาทชัดเจน อ่านตำแหน่งที่ทำให้ภาพชัดทั้งสองครั้ง หาค่ารัศมีความโค้ง ซึ่งผลของการทดสอบ แสดงไว้ในตาราง 4.20

ตาราง 4.20 แสดงผลการตรวจสอบหาค่ารัศมีของลูกปืนเหล็ก

ตัวอย่างที่	ตำแหน่งที่ภาพชัด		รัศมีของ ลูกกลมเหล็ก (mm)	รัศมีเฉลี่ย (mm)	รัศมีที่วัดได้ จากไมโครมิเตอร์ (mm)
	1	2			
1	13.390	16.280	2.890	2.84	2.78
	13.720	16.410	2.690		
	13.420	16.370	2.950		
2	16.460	20.370	3.910	3.93	3.96
	16.500	20.400	3.900		
	16.480	20.450	3.970		
3	15.460	20.340	4.880	4.87	4.76
	15.455	20.355	4.900		
	15.470	20.315	4.845		
4	17.355	22.565	5.210	5.22	5.35
	17.360	22.600	5.240		
	17.370	22.590	5.220		
5	14.590	22.020	7.430	7.46	7.53
	14.600	22.070	7.470		
	14.570	22.060	7.490		
6	13.630	23.055	9.425	9.40	9.52
	13.635	23.805	9.460		
	13.675	22.995	9.320		
7	13.450	23.855	10.405	10.39	10.65
	13.425	23.805	10.380		
	13.445	23.825	10.380		

ค่ารัศมีความโค้งที่ทำการวัด มีความผิดพลาดคลาดเคลื่อน สืบเนื่องจากสาเหตุสำคัญ 2 ประการ คือ

- เนื่องจากความลึกของโฟกัสของเลนส์วัตถุ (depth of focus of objective lens)
- เนื่องจากผิวของลูกกลมเหล็กสะท้อนแสงได้ไม่ดีนัก เพราะผิวของเหล็กมีความเรียบ และเป็นเงาน้อยกว่าผิวของแก้ว ทำให้ความคมชัดของภาพน้อยลง จึงทำให้การกำหนดตำแหน่งที่แน่นอน ซึ่งให้ภาพชัดที่สุด ต้องคลาดเคลื่อนไป อย่างไรก็ตาม ผลของการทดสอบก็ให้ค่าที่ใกล้เคียงพอสมควร